Фиг. 1а Средноденонощни стойности на ФПЧ10 в пунктове Каменица и Тракия разделени на 20 (при това мащабиране праговата стойност от 50 мкг/м3 се изобразява като 2.5) и средноденонощни метеорологични параметри: скорост на вятъра в м/с, височина на слоя на смесване в м (логаритъм от стойността разделена на 10) и стратификация – брой часове неустойчива минус брой часове устойчива.

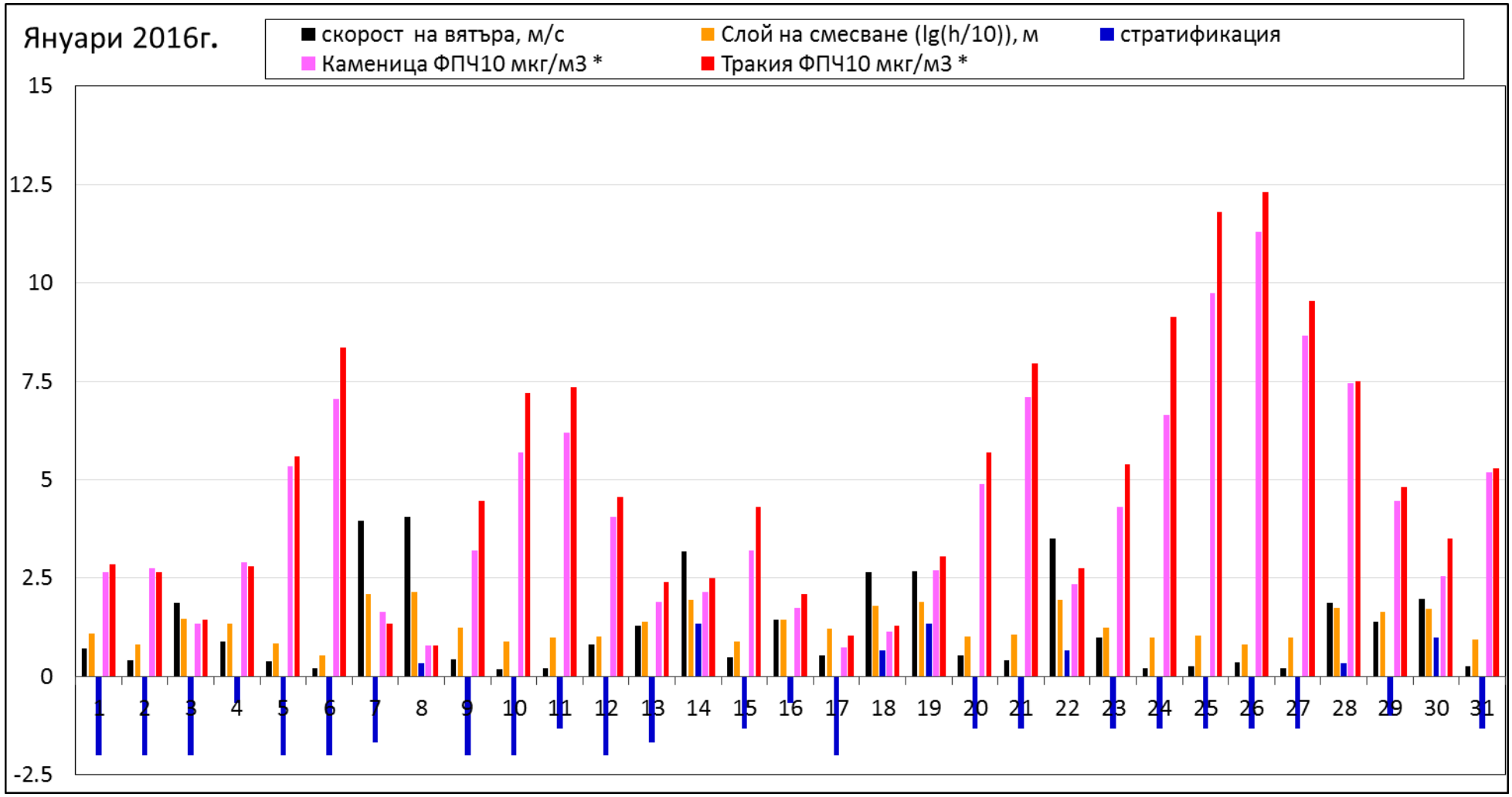

Фиг. 1б Средноденонощни стойности на ФПЧ10 в пунктове Каменица и Тракия разделени на 20 (при това мащабиране праговата стойност от 50 мкг/м3 се изобразява като 2.5) и средноденонощни метеорологични параметри: скорост на вятъра в м/с , интегрален слой на смесване в км*ч (логаритъм от стойността разделена на 1000) и дисперсионен потенциал.

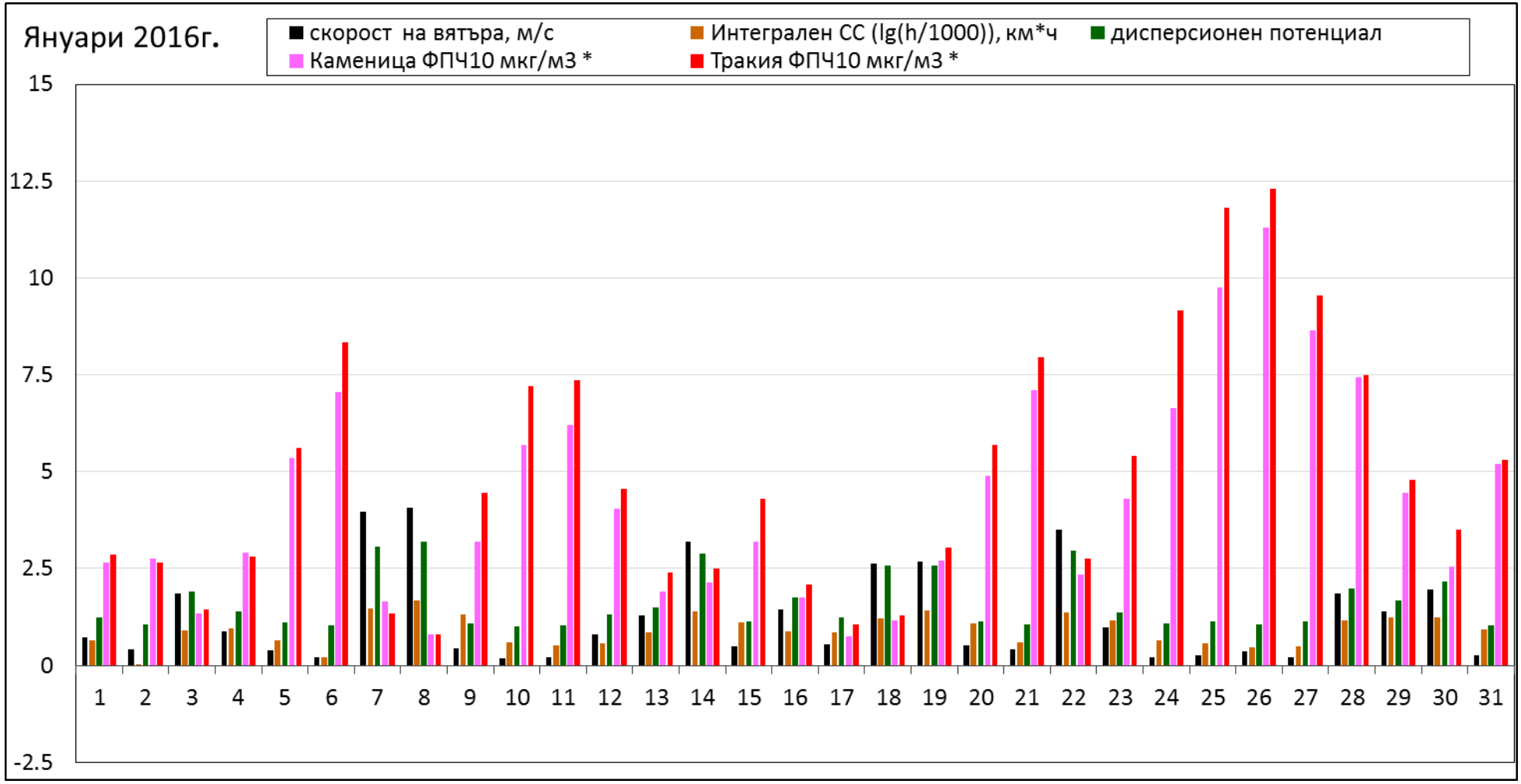

Фиг. 1в Средноденонощни стойности на ФПЧ10 в пунктове Каменица и Тракия разделени на 20 (при това мащабиране праговата стойност от 50 мкг/м3 се изобразява като 2.5), денонощна сума на валежа в мм и ден от седмицата.

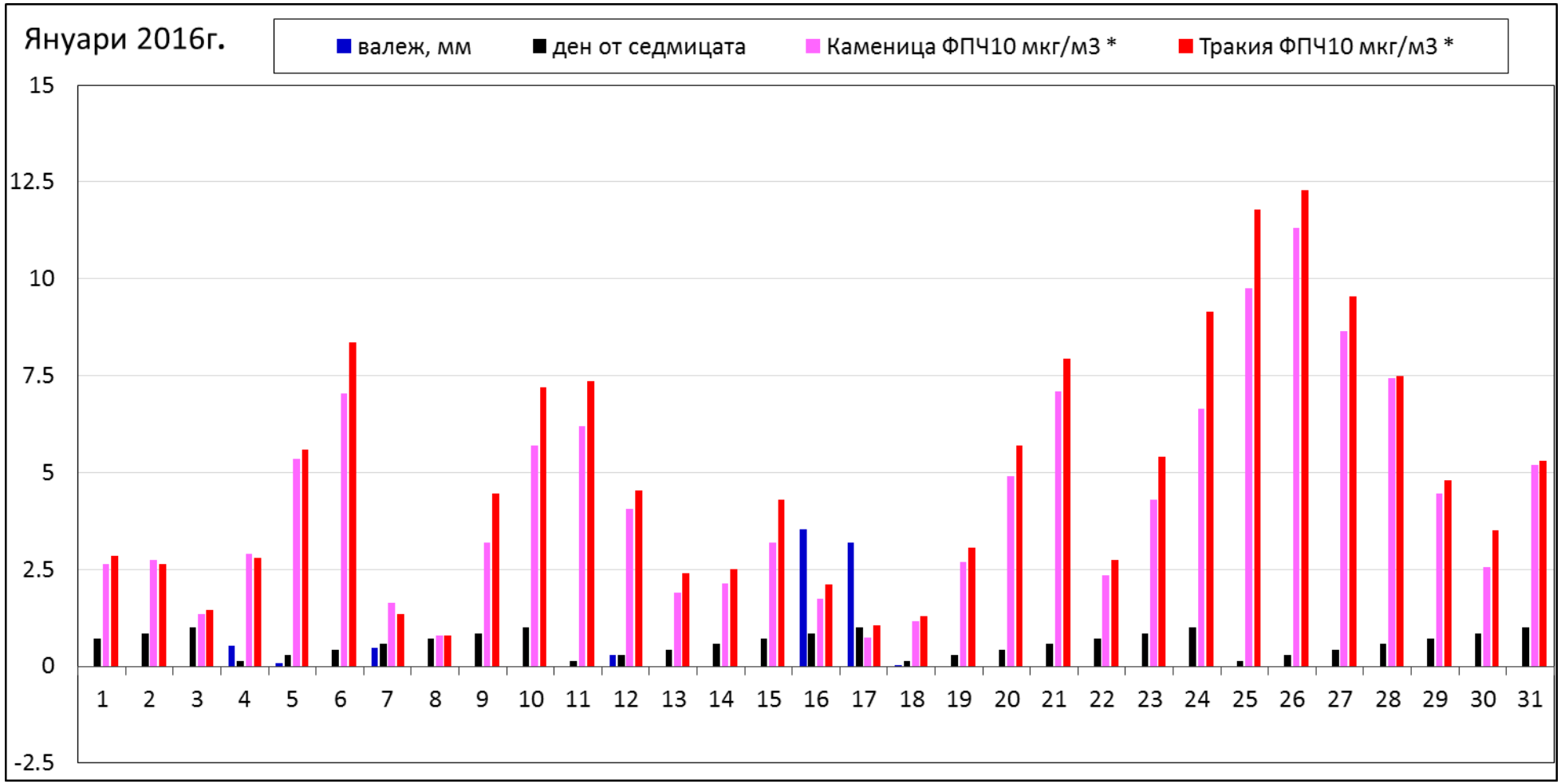

Фиг. 2а Средноденонощни стойности на ФПЧ10 в пунктове Каменица и Тракия разделени на 20 (при това мащабиране праговата стойност от 50 мкг/м3 се изобразява като 2.5) и средноденонощни метеорологични параметри: скорост на вятъра в м/с, височина на слоя на смесване в м (логаритъм от стойността разделена на 10) и стратификация – брой часове неустойчива минус брой часове устойчива.

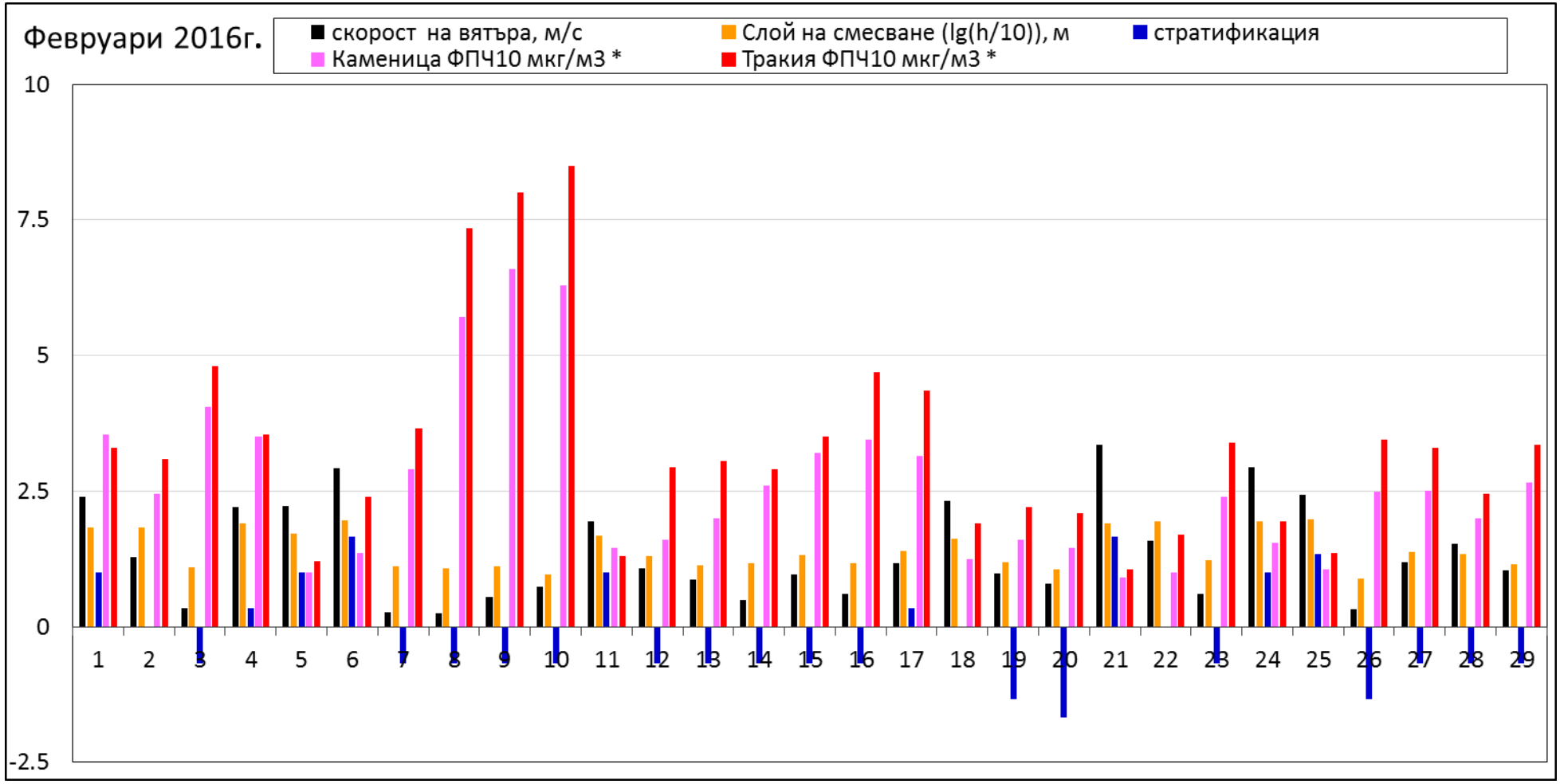

Фиг. 2б Средноденонощни стойности на ФПЧ10 в пунктове Каменица и Тракия разделени на 20 (при това мащабиране праговата стойност от 50 мкг/м3 се изобразява като 2.5) и средноденонощни метеорологични параметри: скорост на вятъра в м/с , интегрален слой на смесване в км*ч (логаритъм от стойността разделена на 1000) дисперсионен потенциал.

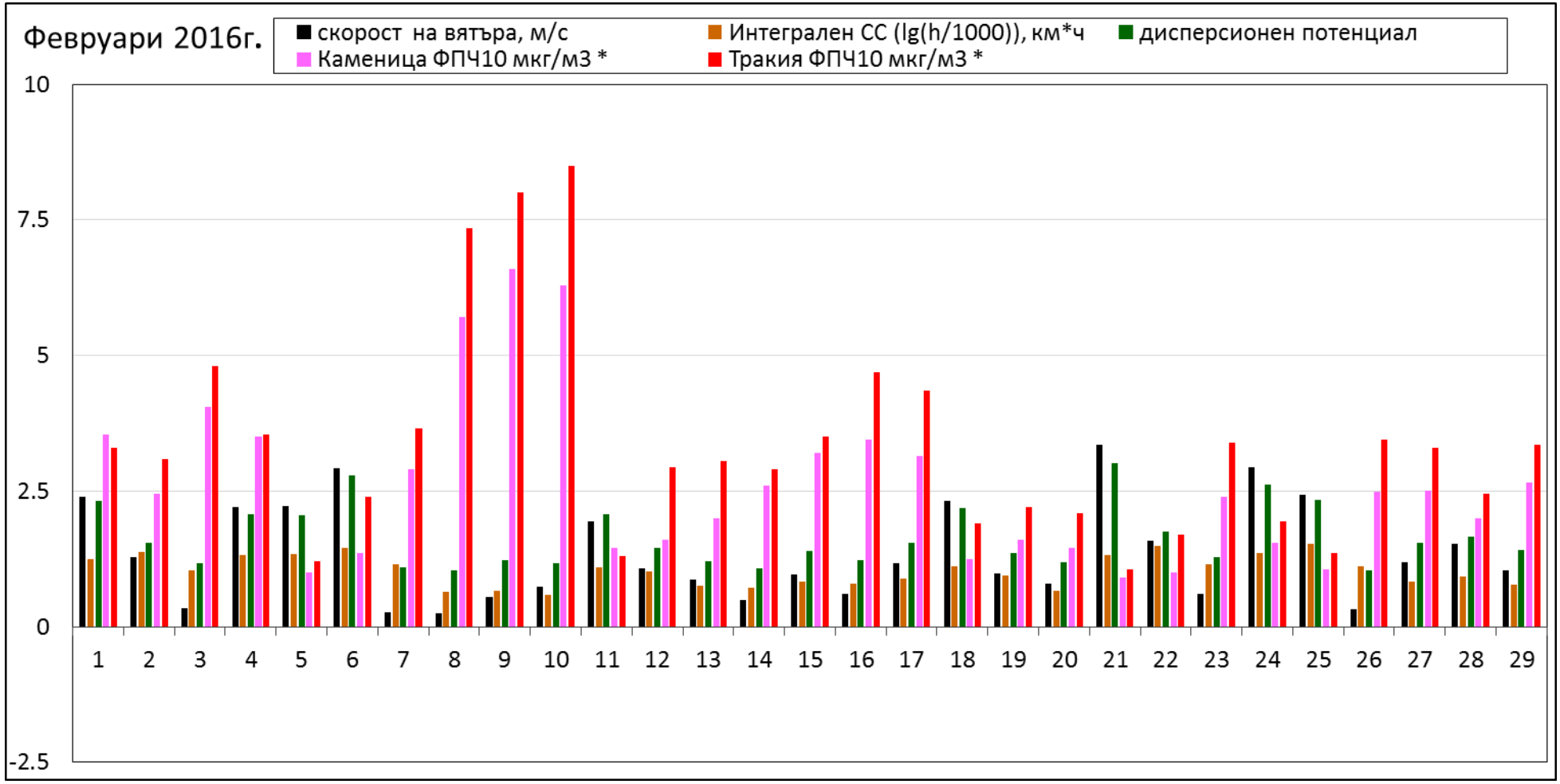

Фиг. 2в Средноденонощни стойности на ФПЧ10 в пунктове Каменица и Тракия разделени на 20 (при това мащабиране праговата стойност от 50 мкг/м3 се изобразява като 2.5) и денонощна сума на валежа в мм и ден от седмицата.

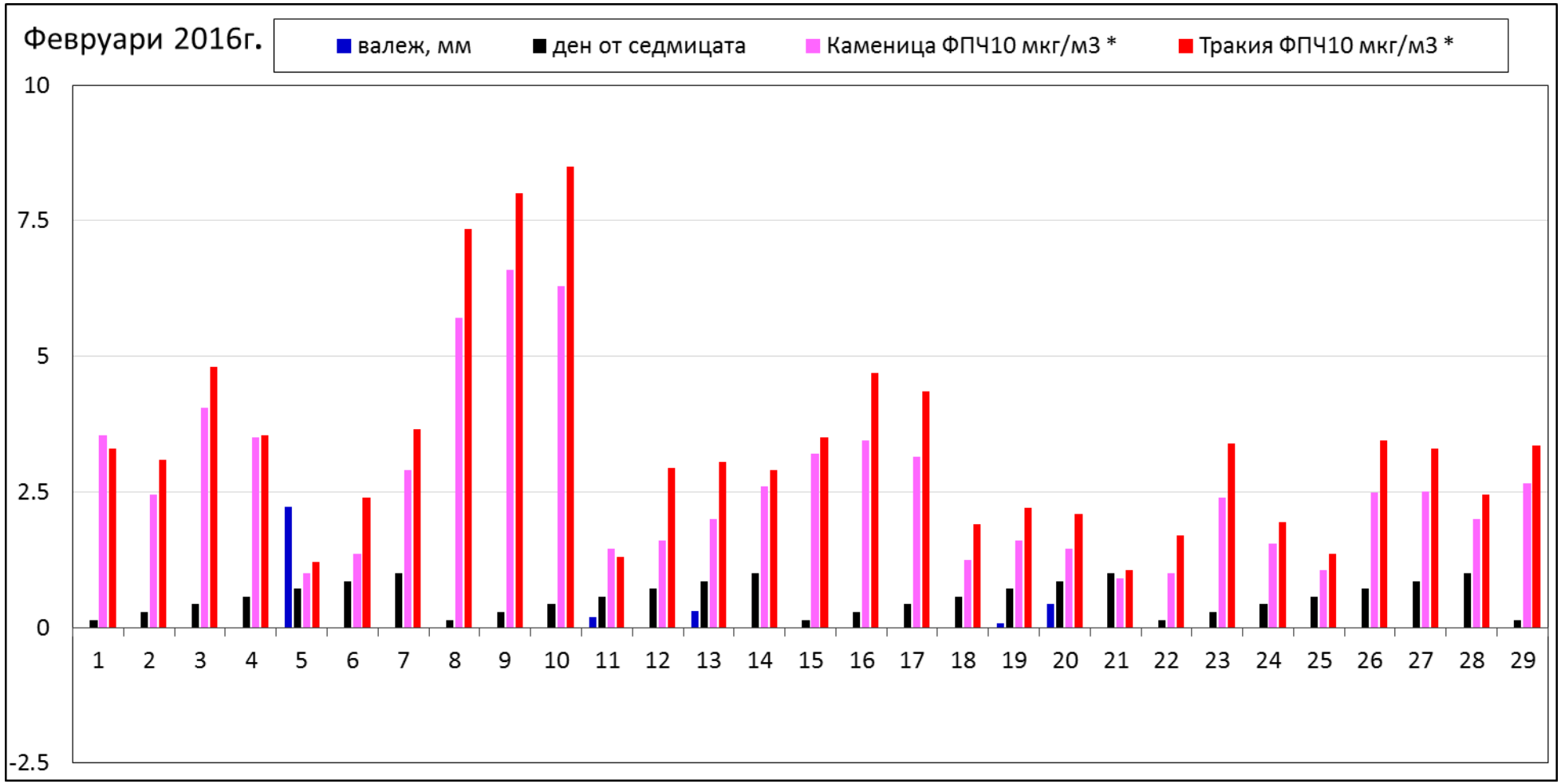

Фиг. 3а Средноденонощни стойности на ФПЧ10 в пунктове Каменица и Тракия разделени на 20 (при това мащабиране праговата стойност от 50 мкг/м3 се изобразява като 2.5) и средноденонощни метеорологични параметри: скорост на вятъра в м/с, височина на слоя на смесване в м (логаритъм от стойността разделена на 10) и стратификация – брой часове неустойчива минус брой часове устойчива.

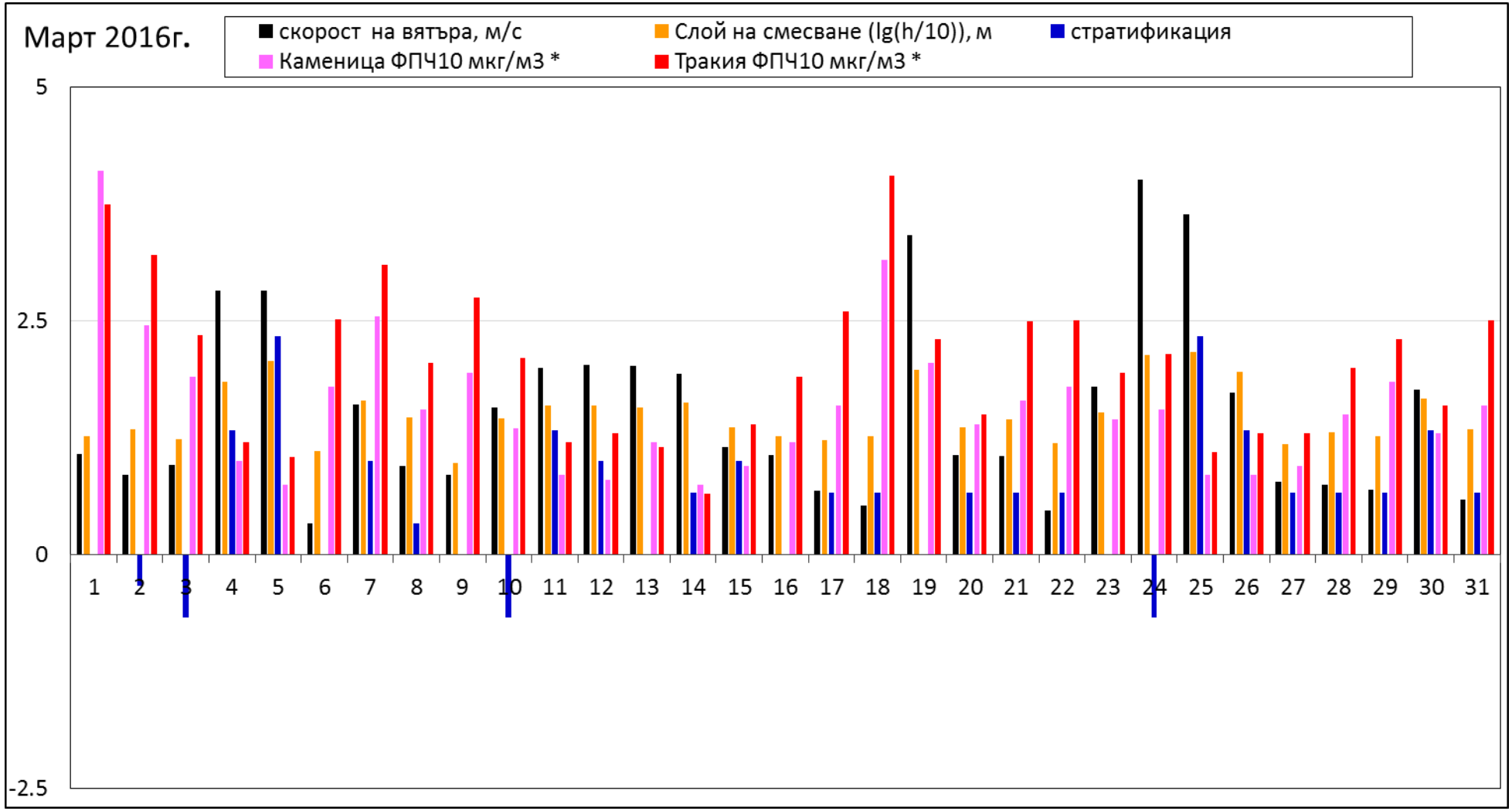

Фиг. 3б Средноденонощни стойности на ФПЧ10 в пунктове Каменица и Тракия разделени на 20 (при това мащабиране праговата стойност от 50 мкг/м3 се изобразява като 2.5) и средноденонощни метеорологични параметри: скорост на вятъра в м/с , интегрален слой на смесване в км*ч (логаритъм от стойността разделена на 1000) дисперсионен потенциал.

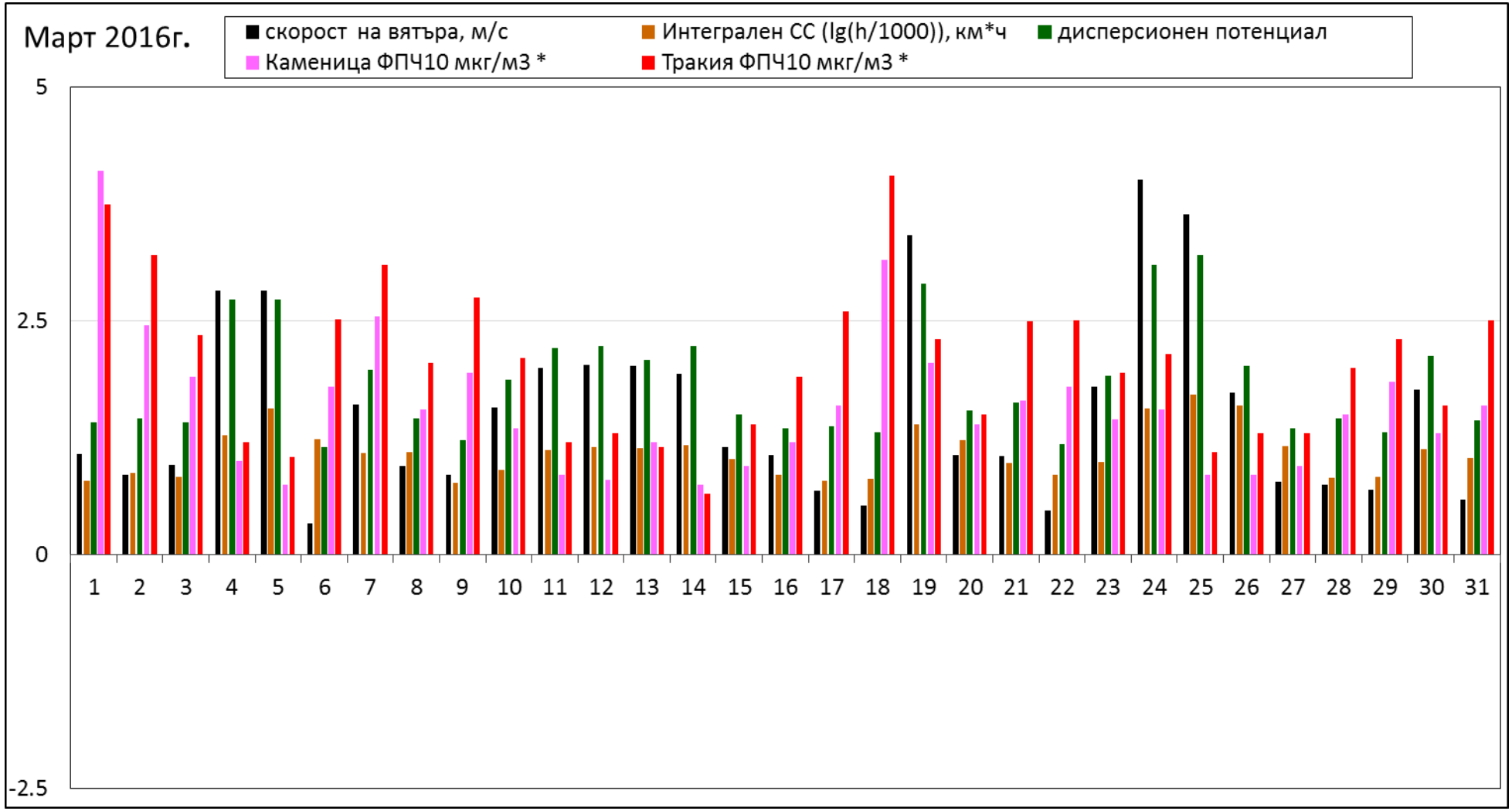

Фиг. 3в Средноденонощни стойности на ФПЧ10 в пунктове Каменица и Тракия разделени на 20 (при това мащабиране праговата стойност от 50 мкг/м3 се изобразява като 2.5) и денонощна сума на валежа в мм и ден от седмицата.

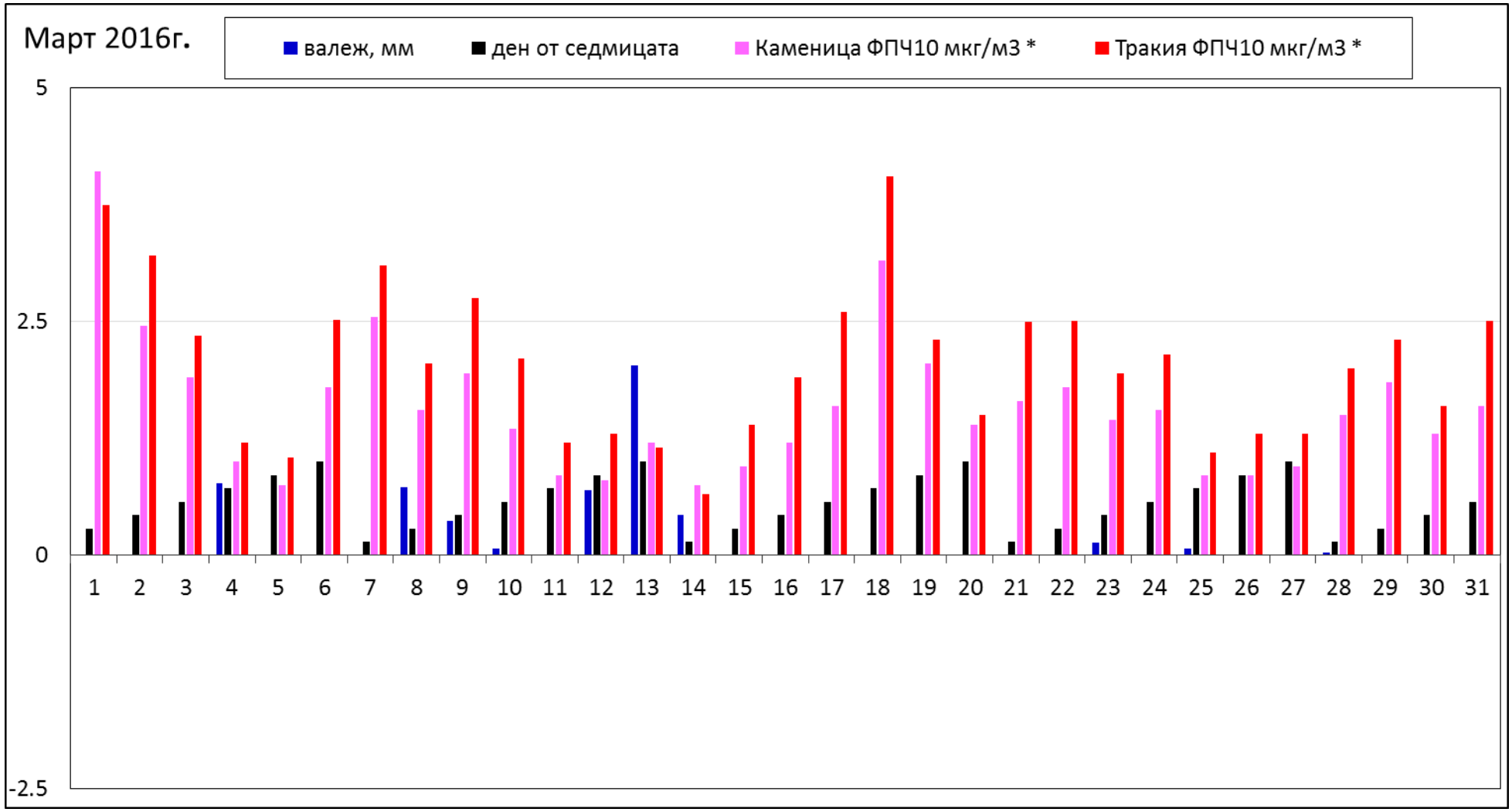

Фиг. 4а Средноденонощни стойности на ФПЧ10 в пунктове Каменица и Тракия разделени на 20 (при това мащабиране праговата стойност от 50 мкг/м3 се изобразява като 2.5) и средноденонощни метеорологични параметри: скорост на вятъра в м/с, височина на слоя на смесване в м (логаритъм от стойността разделена на 10) и стратификация – брой часове неустойчива минус брой часове устойчива.

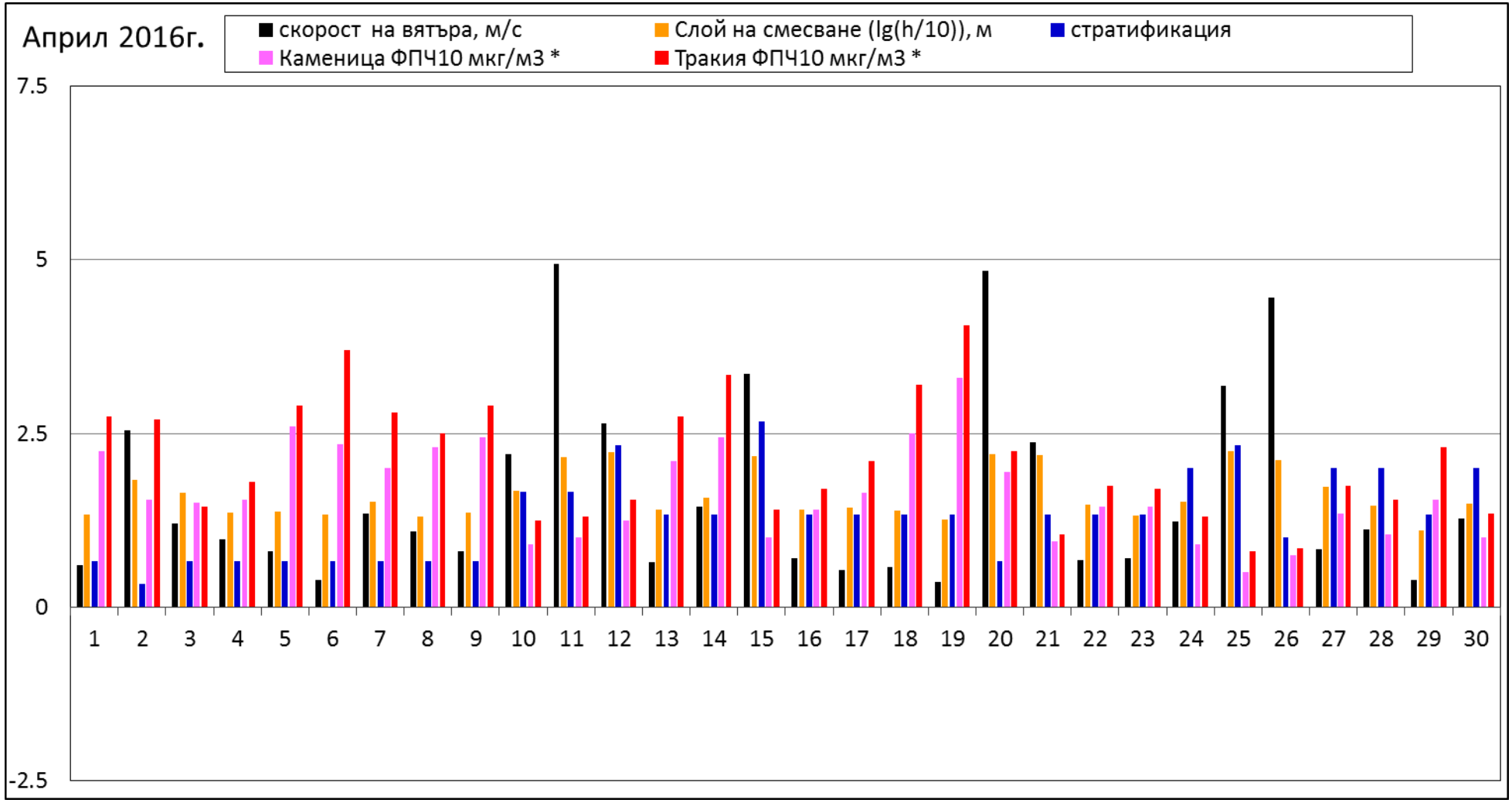

Фиг. 4б Средноденонощни стойности на ФПЧ10 в пунктове Каменица и Тракия разделени на 20 (при това мащабиране праговата стойност от 50 мкг/м3 се изобразява като 2.5) и средноденонощни метеорологични параметри: скорост на вятъра в м/с , интегрален слой на смесване в км*ч (логаритъм от стойността разделена на 1000) дисперсионен потенциал.

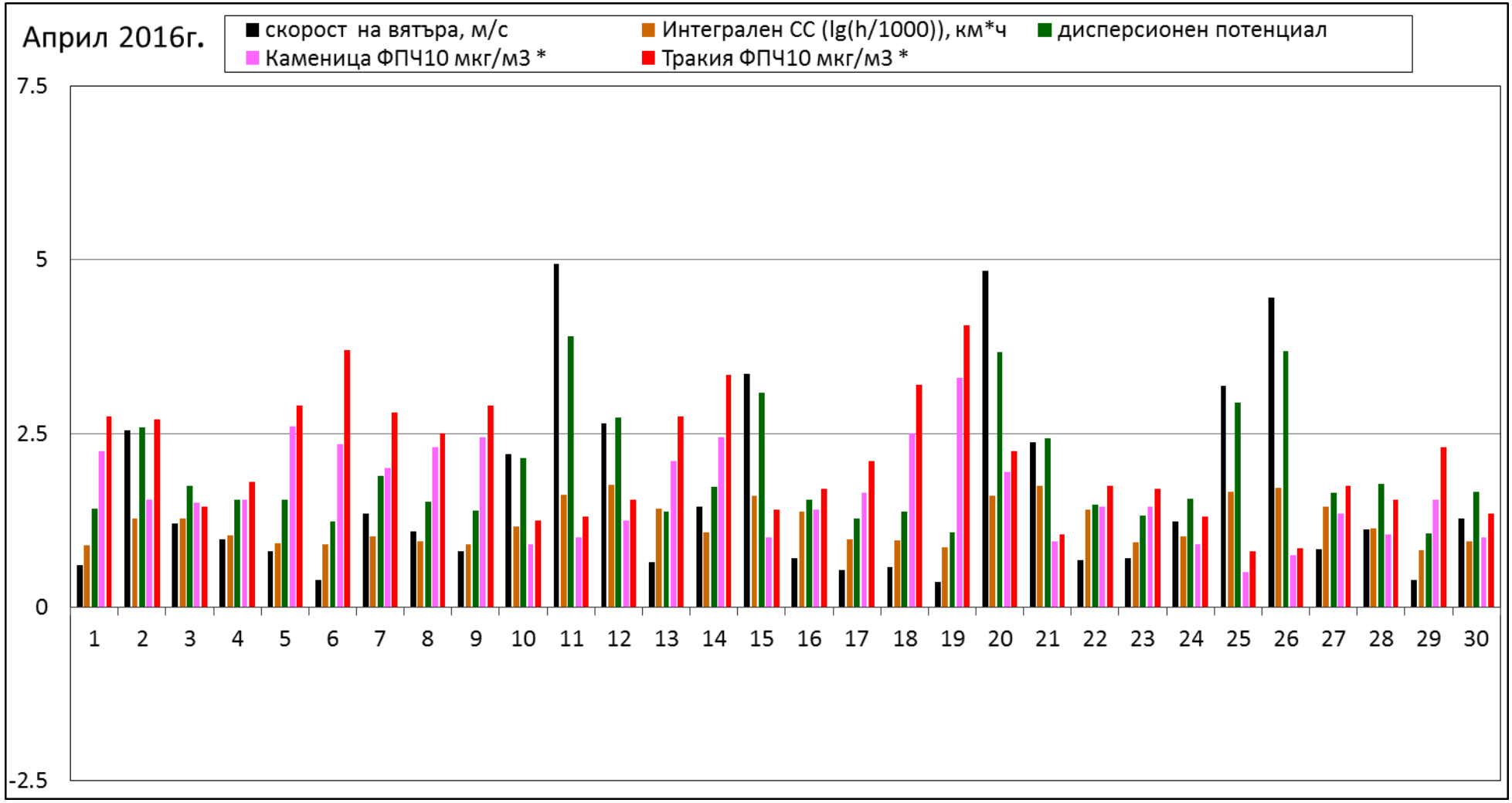

Фиг. 4в Средноденонощни стойности на ФПЧ10 в пунктове Каменица и Тракия разделени на 20 (при това мащабиране праговата стойност от 50 мкг/м3 се изобразява като 2.5) и денонощна сума на валежа в мм и ден от седмицата.

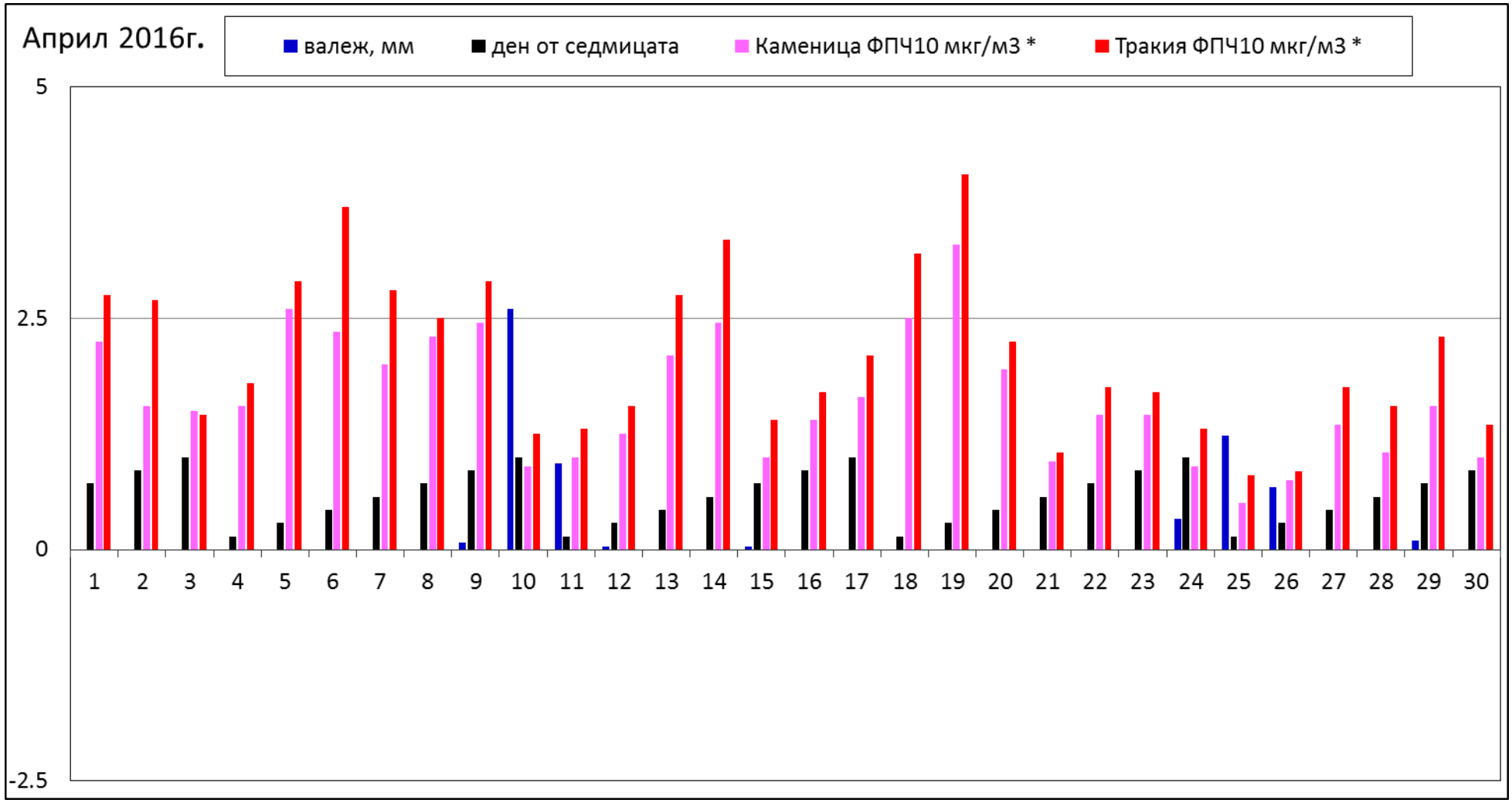

Фиг. 5а Средноденонощни стойности на ФПЧ10 в пунктове Каменица и Тракия разделени на 20 (при това мащабиране праговата стойност от 50 мкг/м3 се изобразява като 2.5) и средноденонощни метеорологични параметри: скорост на вятъра в м/с, височина на слоя на смесване в м (логаритъм от стойността разделена на 10) и стратификация – брой часове неустойчива минус брой часове устойчива.

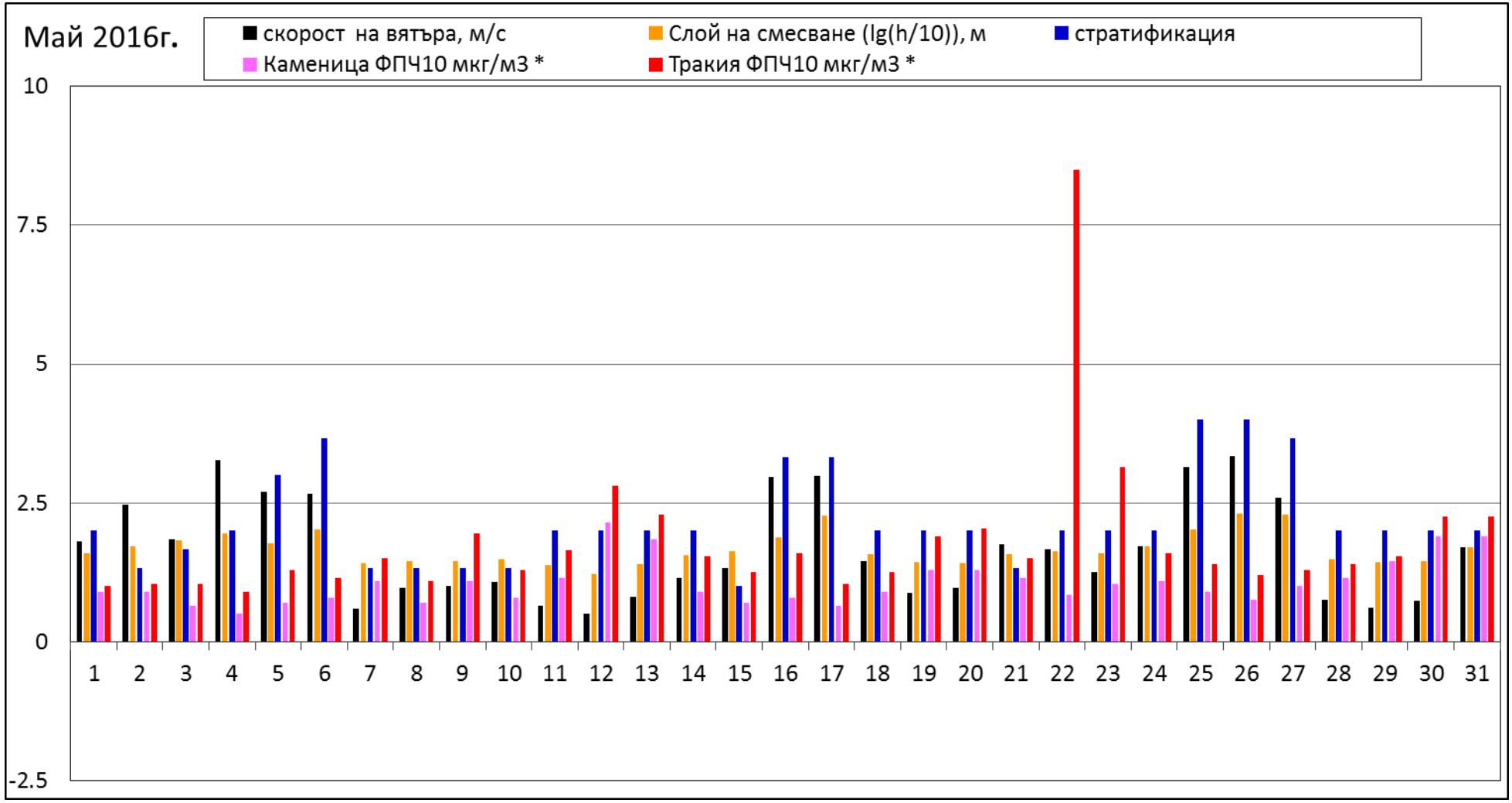

Фиг. 5б Средноденонощни стойности на ФПЧ10 в пунктове Каменица и Тракия разделени на 20 (при това мащабиране праговата стойност от 50 мкг/м3 се изобразява като 2.5) и средноденонощни метеорологични параметри: скорост на вятъра в м/с , интегрален слой на смесване в км*ч (логаритъм от стойността разделена на 1000) дисперсионен потенциал.

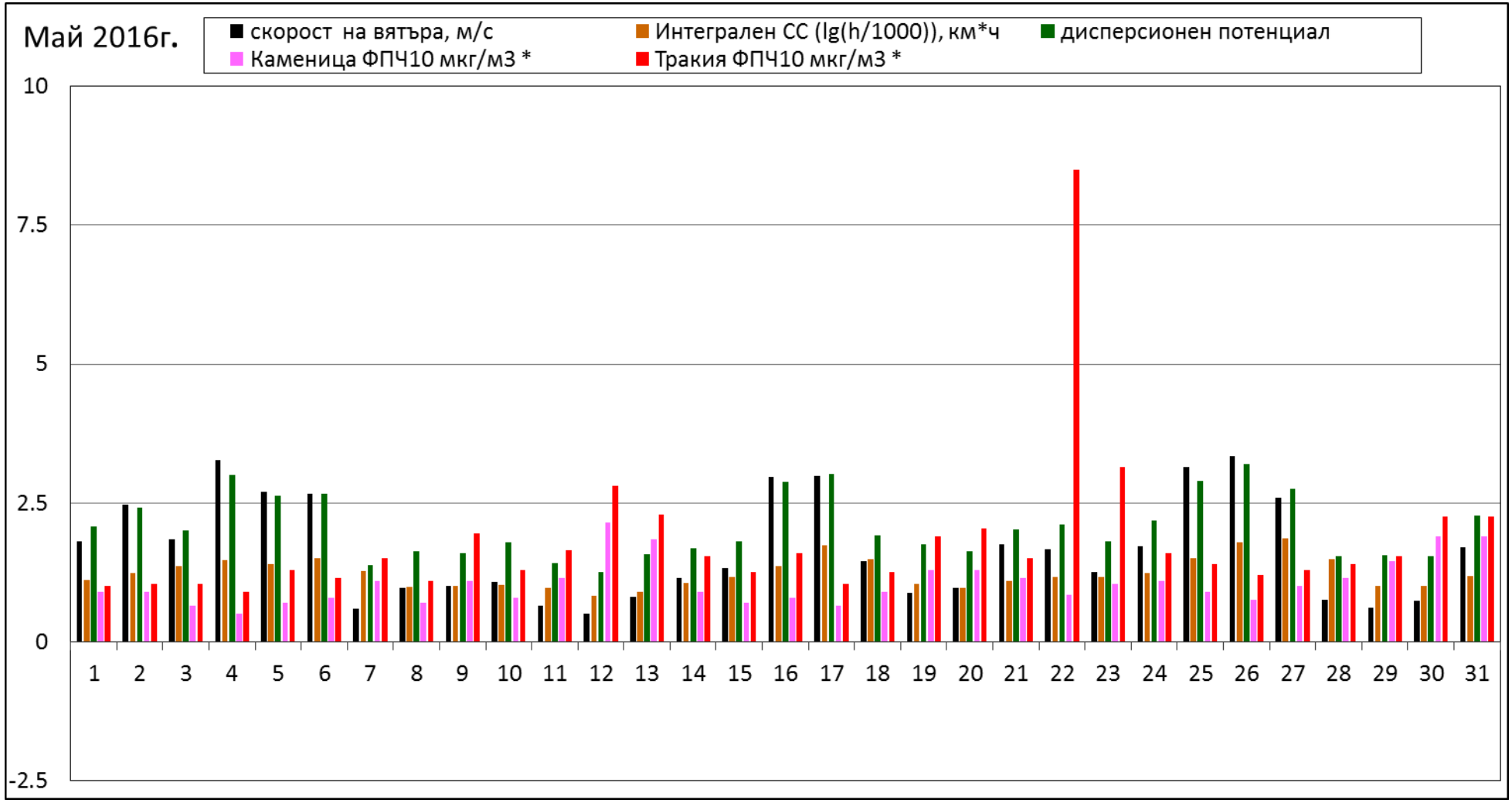

Фиг. 5в Средноденонощни стойности на ФПЧ10 в пунктове Каменица и Тракия разделени на 20 (при това мащабиране праговата стойност от 50 мкг/м3 се изобразява като 2.5) и денонощна сума на валежа в мм и ден от седмицата.

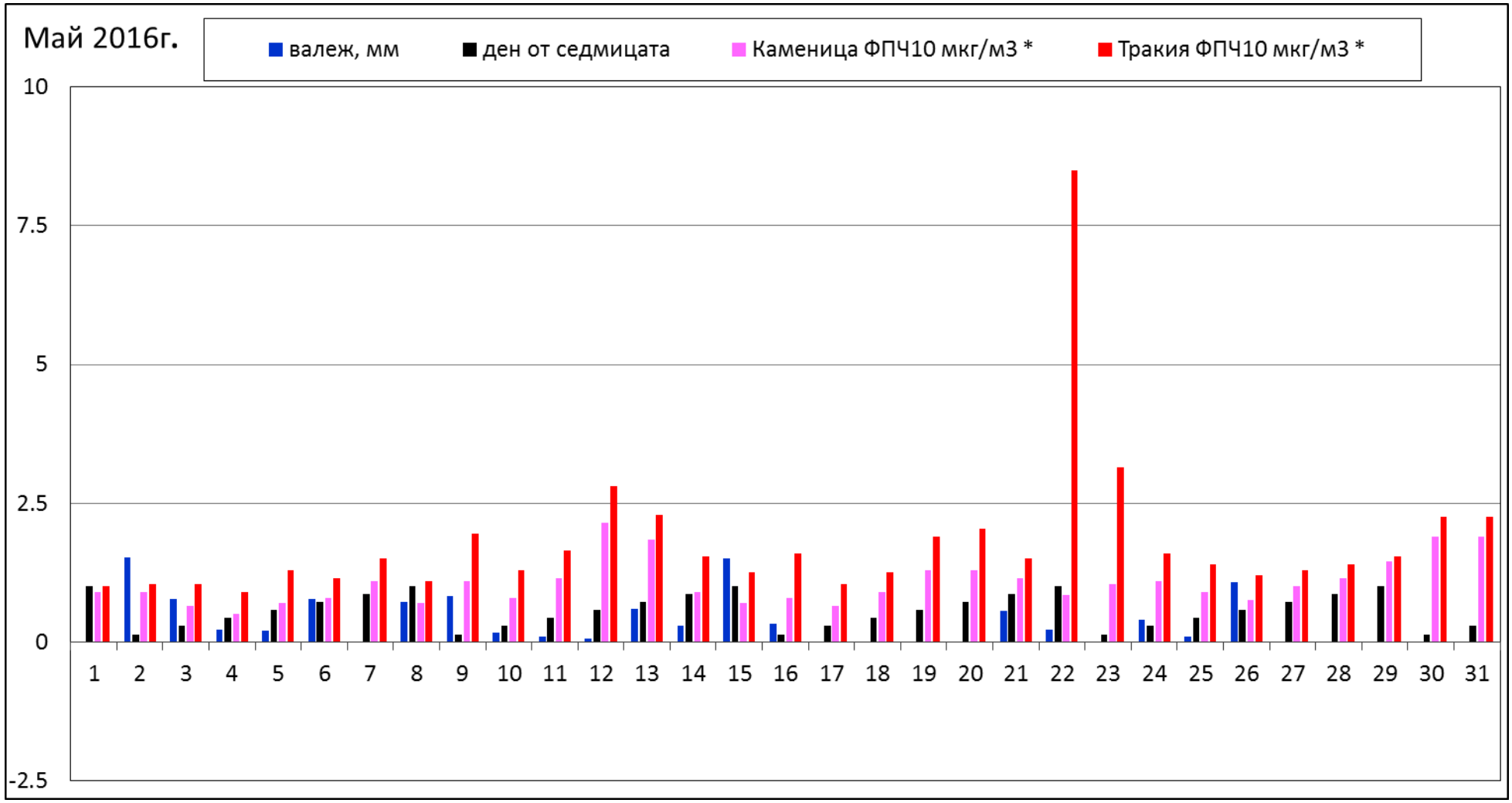

Фиг. 6а Средноденонощни стойности на ФПЧ10 в пунктове Каменица и Тракия разделени на 20 (при това мащабиране праговата стойност от 50 мкг/м3 се изобразява като 2.5) и средноденонощни метеорологични параметри: скорост на вятъра в м/с, височина на слоя на смесване в м (логаритъм от стойността разделена на 10) и стратификация – брой часове неустойчива минус брой часове устойчива.

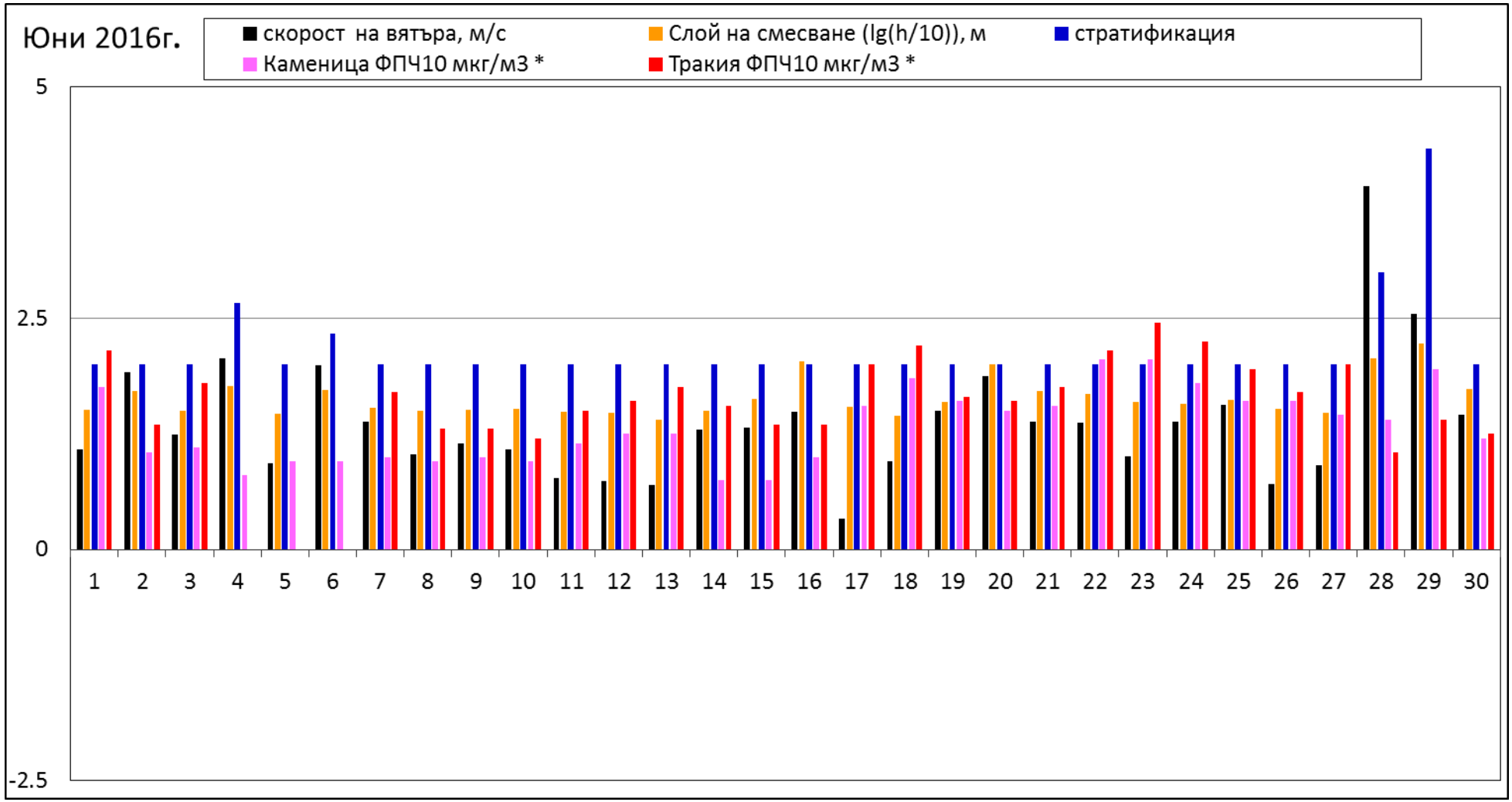

Фиг. 6б Средноденонощни стойности на ФПЧ10 в пунктове Каменица и Тракия разделени на 20 (при това мащабиране праговата стойност от 50 мкг/м3 се изобразява като 2.5) и средноденонощни метеорологични параметри: скорост на вятъра в м/с , интегрален слой на смесване в км*ч (логаритъм от стойността разделена на 1000) дисперсионен потенциал.

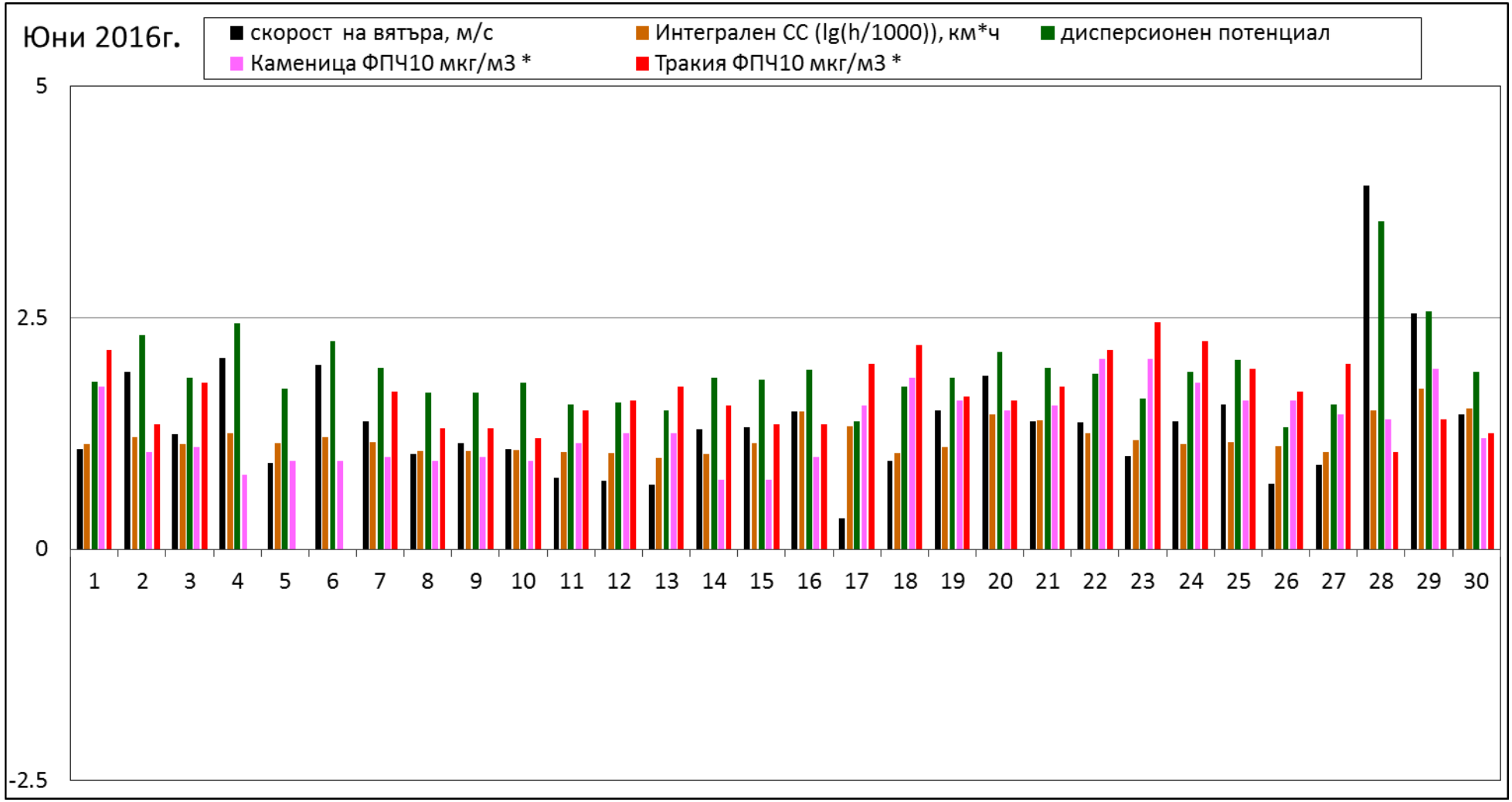

Фиг. 6в Средноденонощни стойности на ФПЧ10 в пунктове Каменица и Тракия разделени на 20 (при това мащабиране праговата стойност от 50 мкг/м3 се изобразява като 2.5) и денонощна сума на валежа в мм и ден от седмицата.

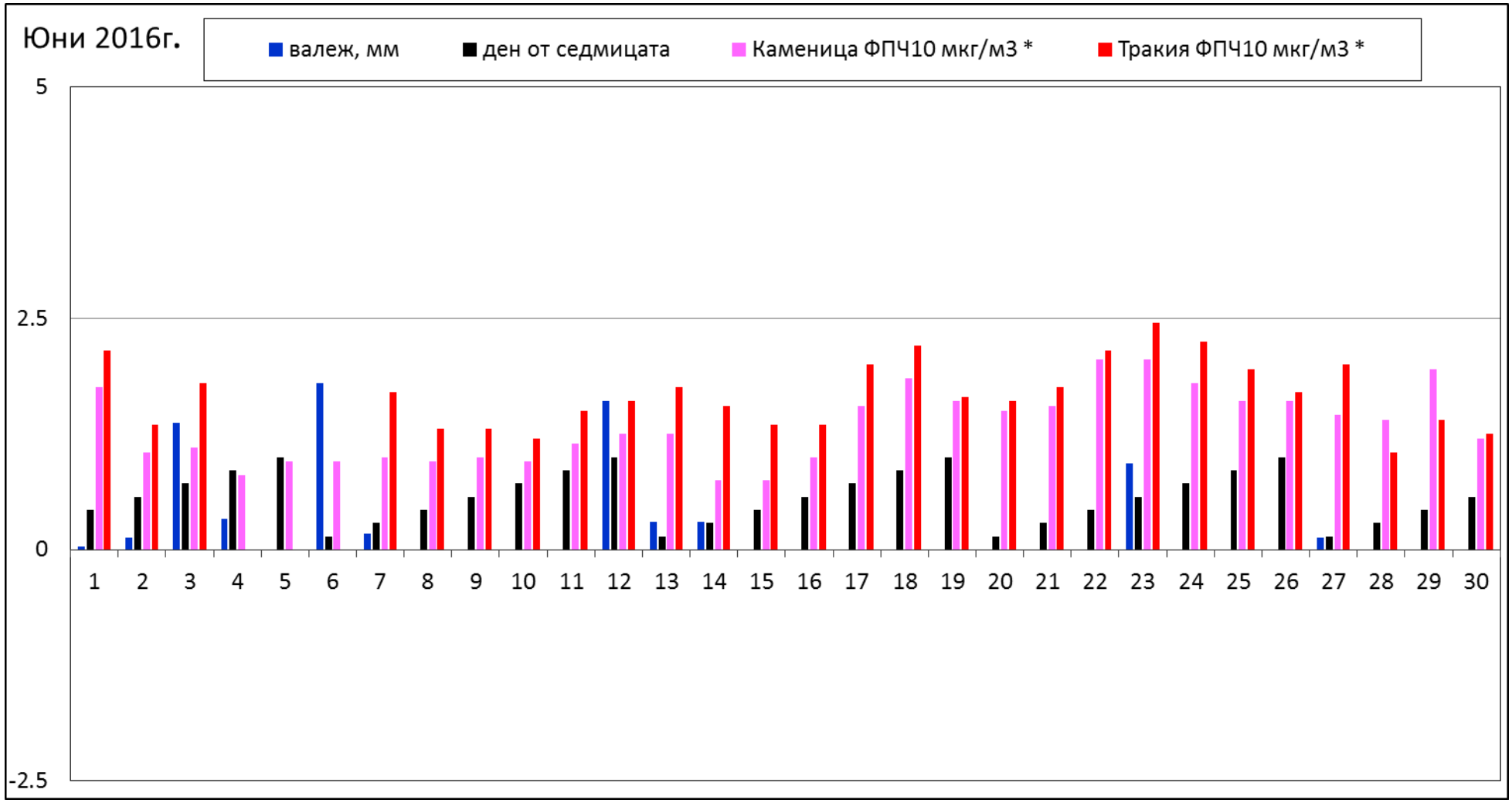

Фиг. 7а Средноденонощни стойности на ФПЧ10 в пунктове Каменица и Тракия разделени на 20 (при това мащабиране праговата стойност от 50 мкг/м3 се изобразява като 2.5) и средноденонощни метеорологични параметри: скорост на вятъра в м/с, височина на слоя на смесване в м (логаритъм от стойността разделена на 10) и стратификация – брой часове неустойчива минус брой часове устойчива.

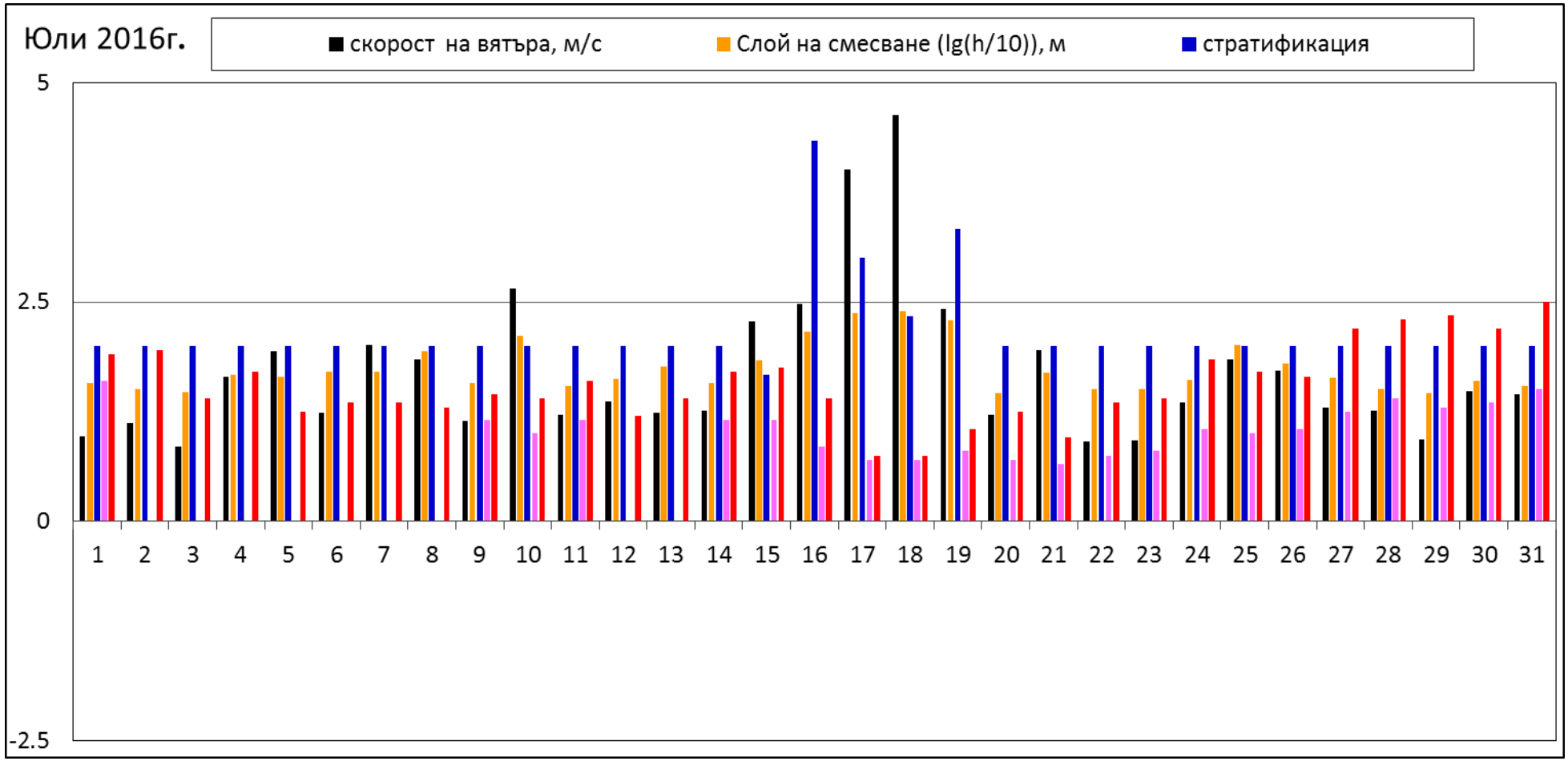

Фиг. 7б Средноденонощни стойности на ФПЧ10 в пунктове Каменица и Тракия разделени на 20 (при това мащабиране праговата стойност от 50 мкг/м3 се изобразява като 2.5) и средноденонощни метеорологични параметри: скорост на вятъра в м/с , интегрален слой на смесване в км*ч (логаритъм от стойността разделена на 1000) дисперсионен потенциал.

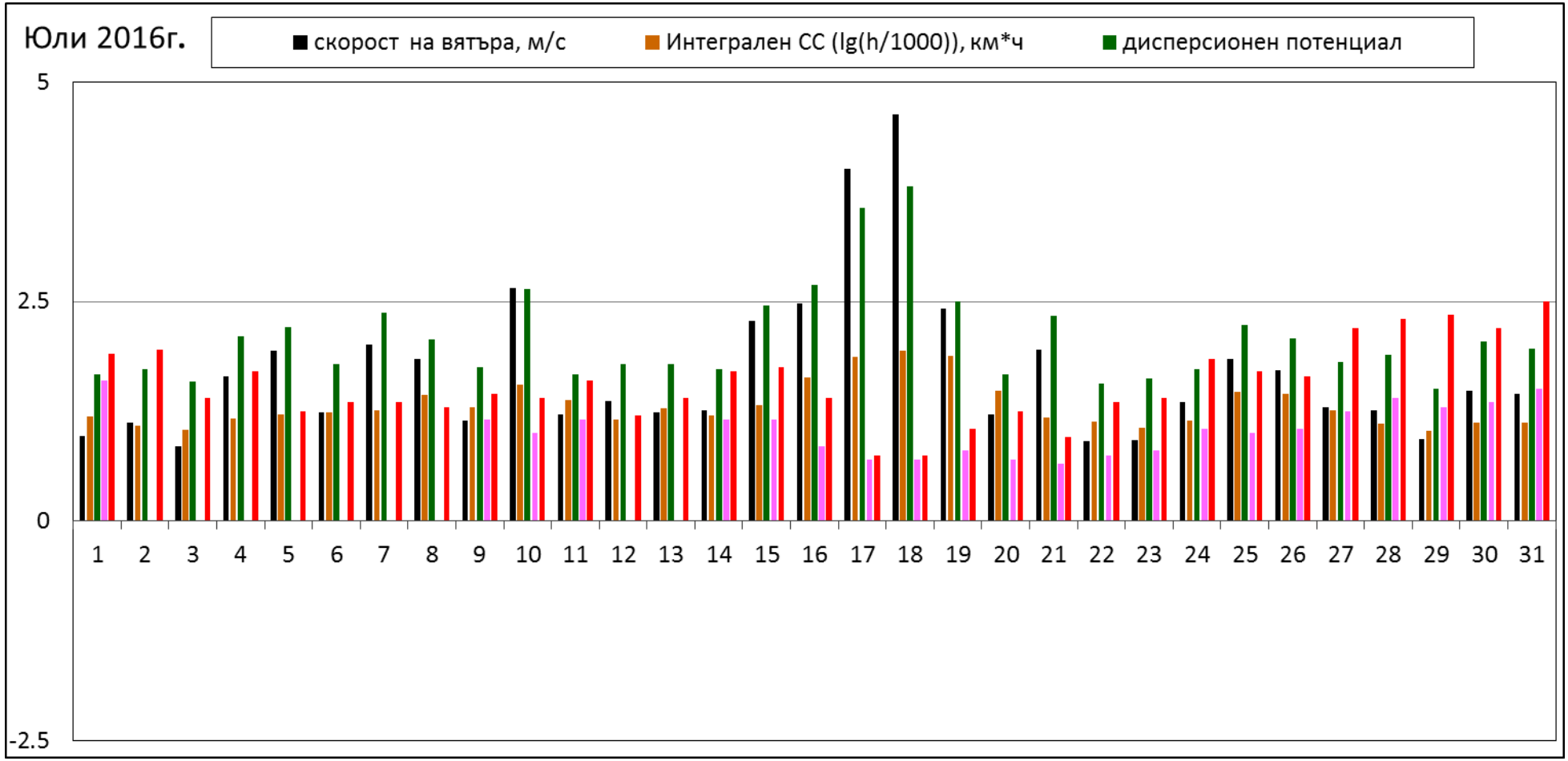

Фиг. 7в Средноденонощни стойности на ФПЧ10 в пунктове Каменица и Тракия разделени на 20 (при това мащабиране праговата стойност от 50 мкг/м3 се изобразява като 2.5) и денонощна сума на валежа в мм и ден от седмицата.

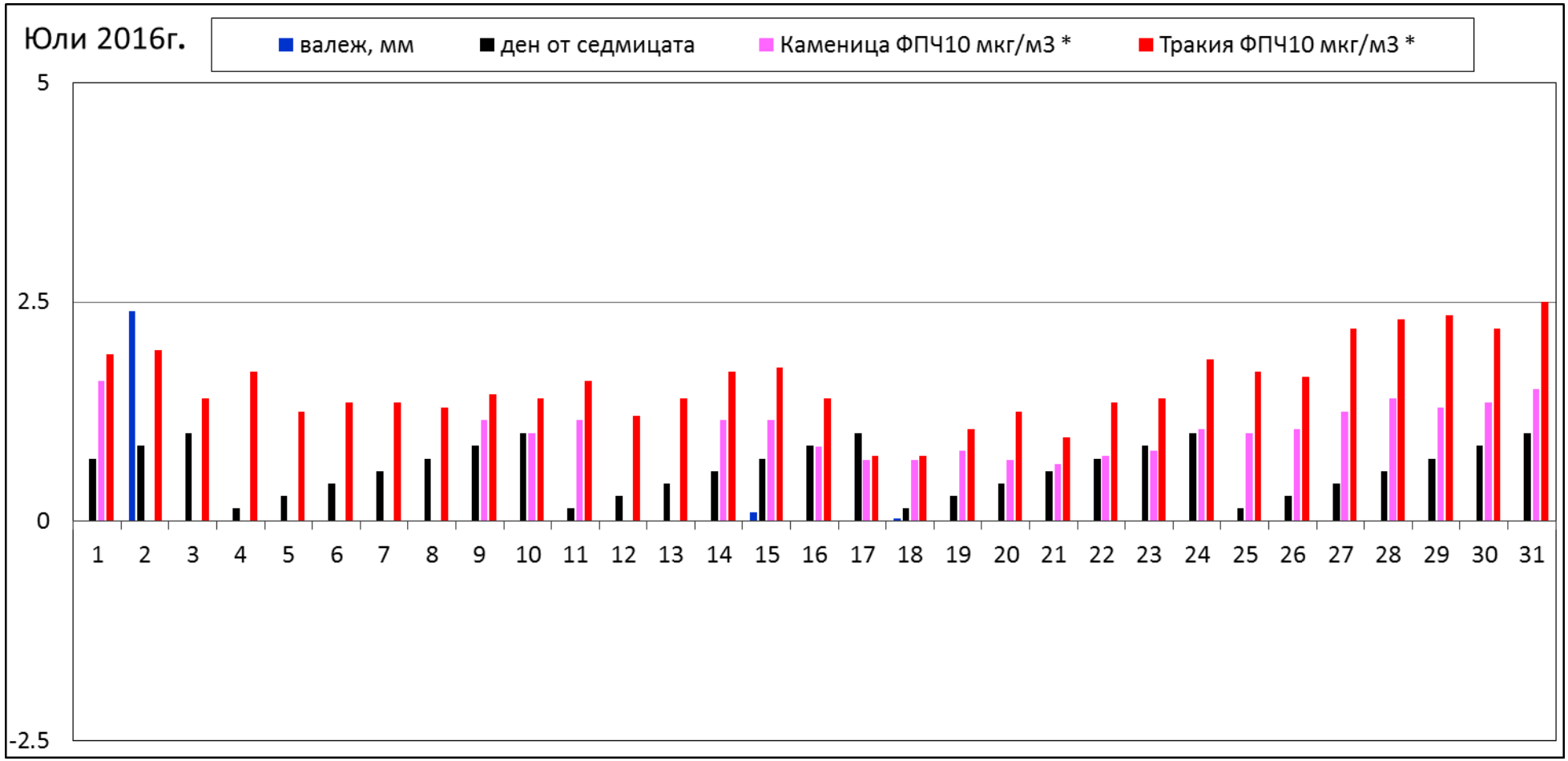

Фиг. 8а Средноденонощни стойности на ФПЧ10 в пунктове Каменица и Тракия разделени на 20 (при това мащабиране праговата стойност от 50 мкг/м3 се изобразява като 2.5) и средноденонощни метеорологични параметри: скорост на вятъра в м/с, височина на слоя на смесване в м (логаритъм от стойността разделена на 10) и стратификация – брой часове неустойчива минус брой часове устойчива.

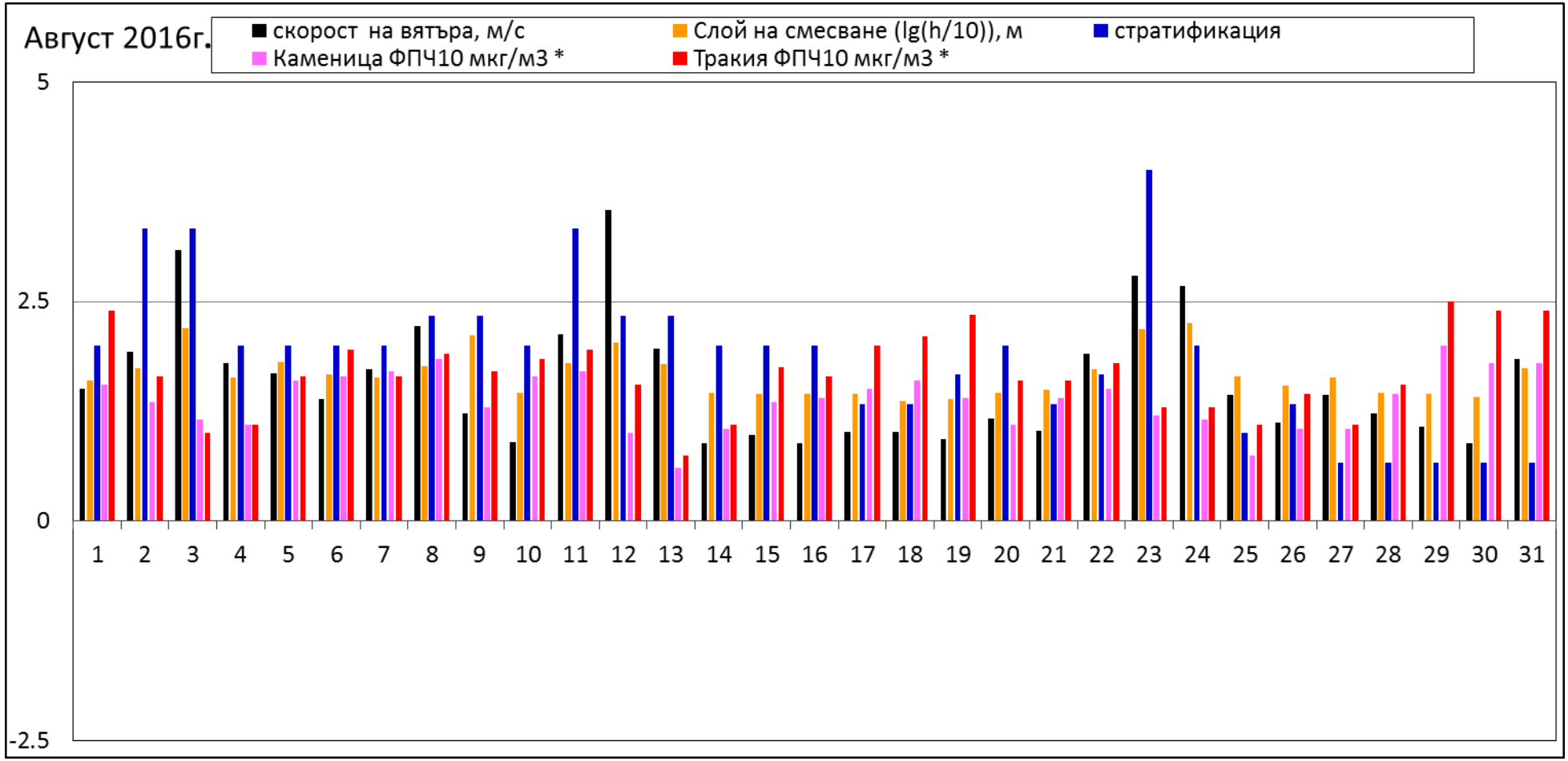

Фиг. 8б Средноденонощни стойности на ФПЧ10 в пунктове Каменица и Тракия разделени на 20 (при това мащабиране праговата стойност от 50 мкг/м3 се изобразява като 2.5) и средноденонощни метеорологични параметри: скорост на вятъра в м/с , интегрален слой на смесване в км*ч (логаритъм от стойността разделена на 1000) дисперсионен потенциал.

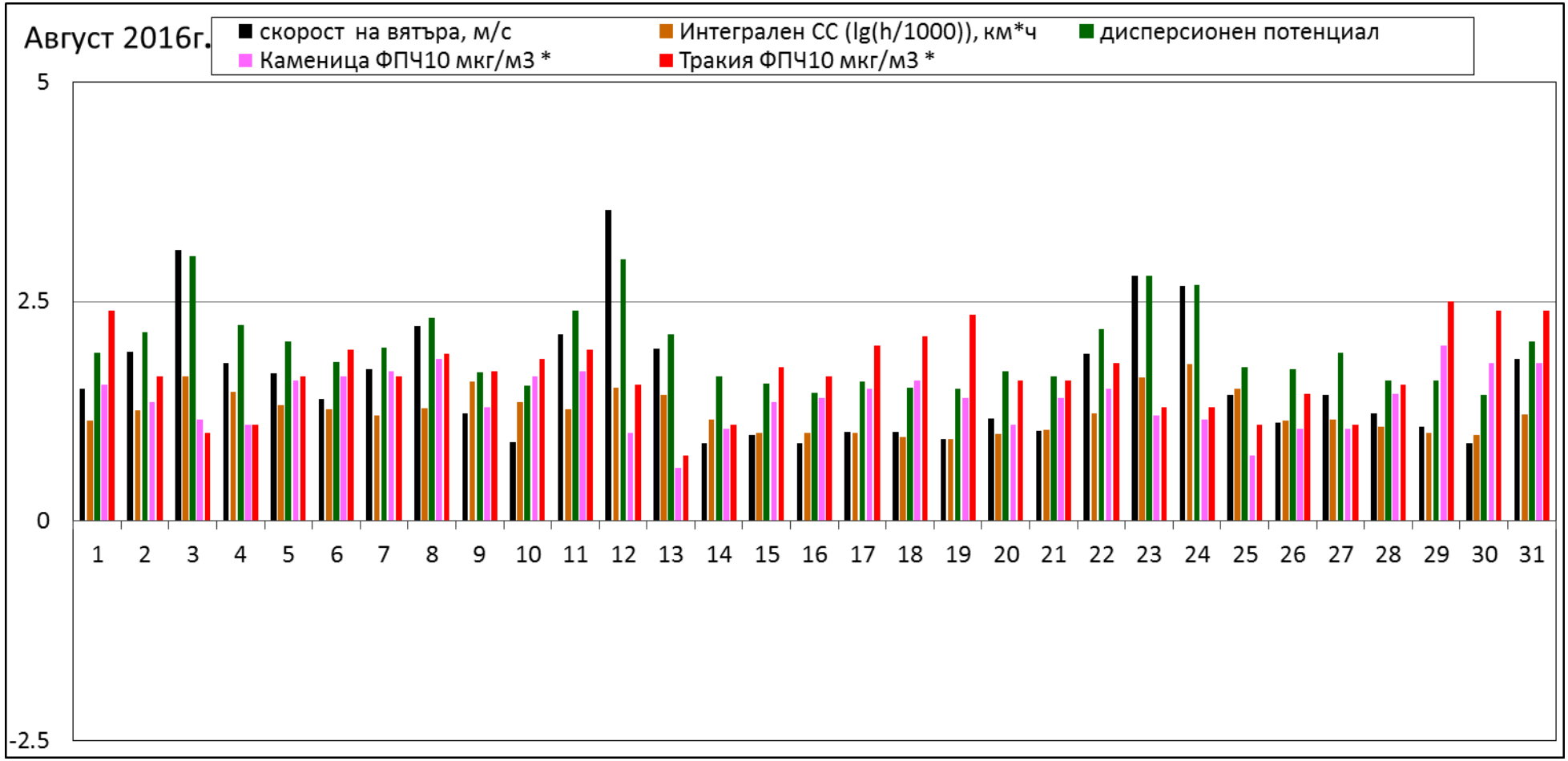

Фиг. 8в Средноденонощни стойности на ФПЧ10 в пунктове Каменица и Тракия разделени на 20 (при това мащабиране праговата стойност от 50 мкг/м3 се изобразява като 2.5) и денонощна сума на валежа в мм и ден от седмицата.

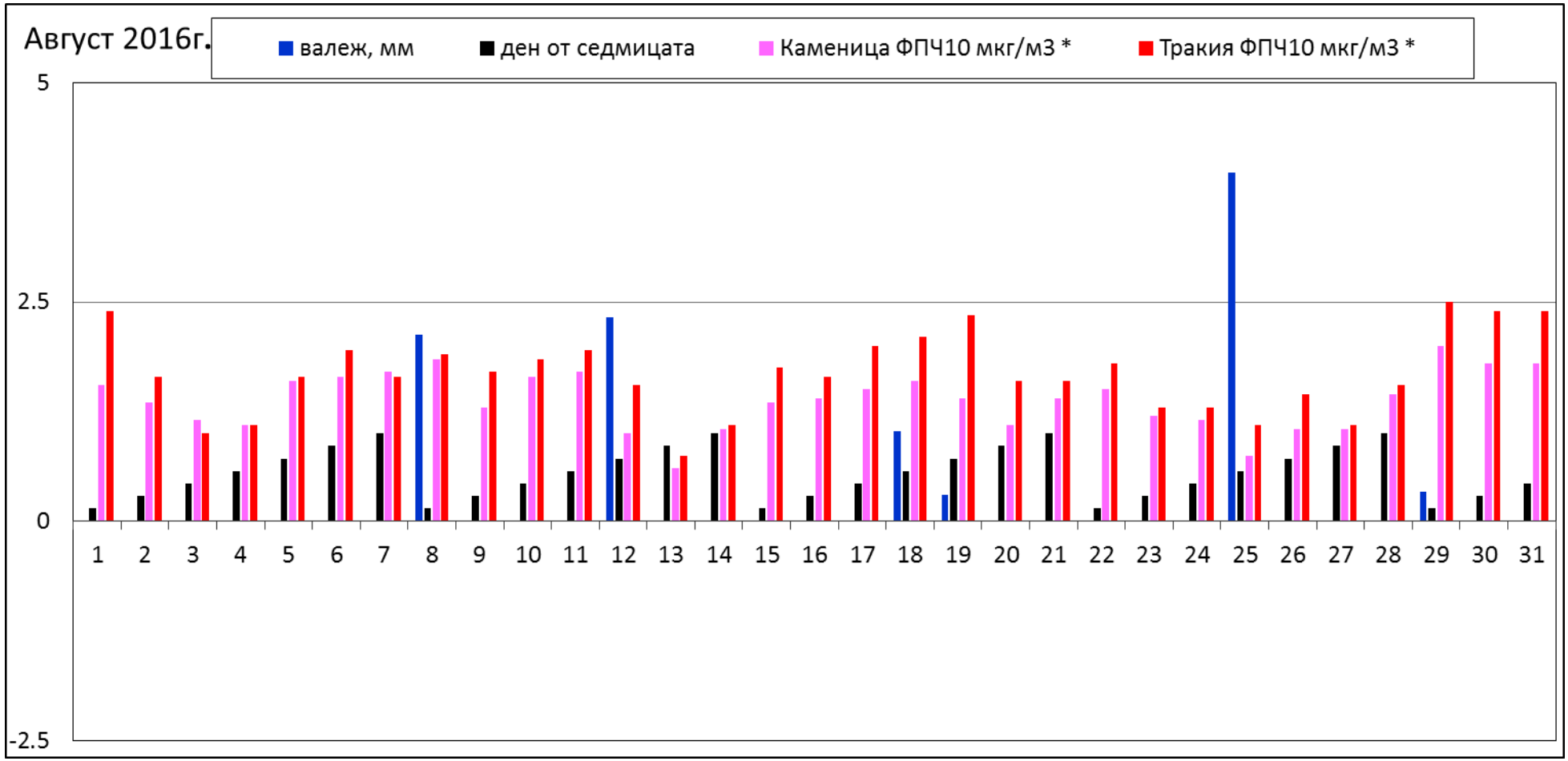

Фиг. 9а Средноденонощни стойности на ФПЧ10 в пунктове Каменица и Тракия разделени на 20 (при това мащабиране праговата стойност от 50 мкг/м3 се изобразява като 2.5) и средноденонощни метеорологични параметри: скорост на вятъра в м/с, височина на слоя на смесване в м (логаритъм от стойността разделена на 10) и стратификация – брой часове неустойчива минус брой часове устойчива.

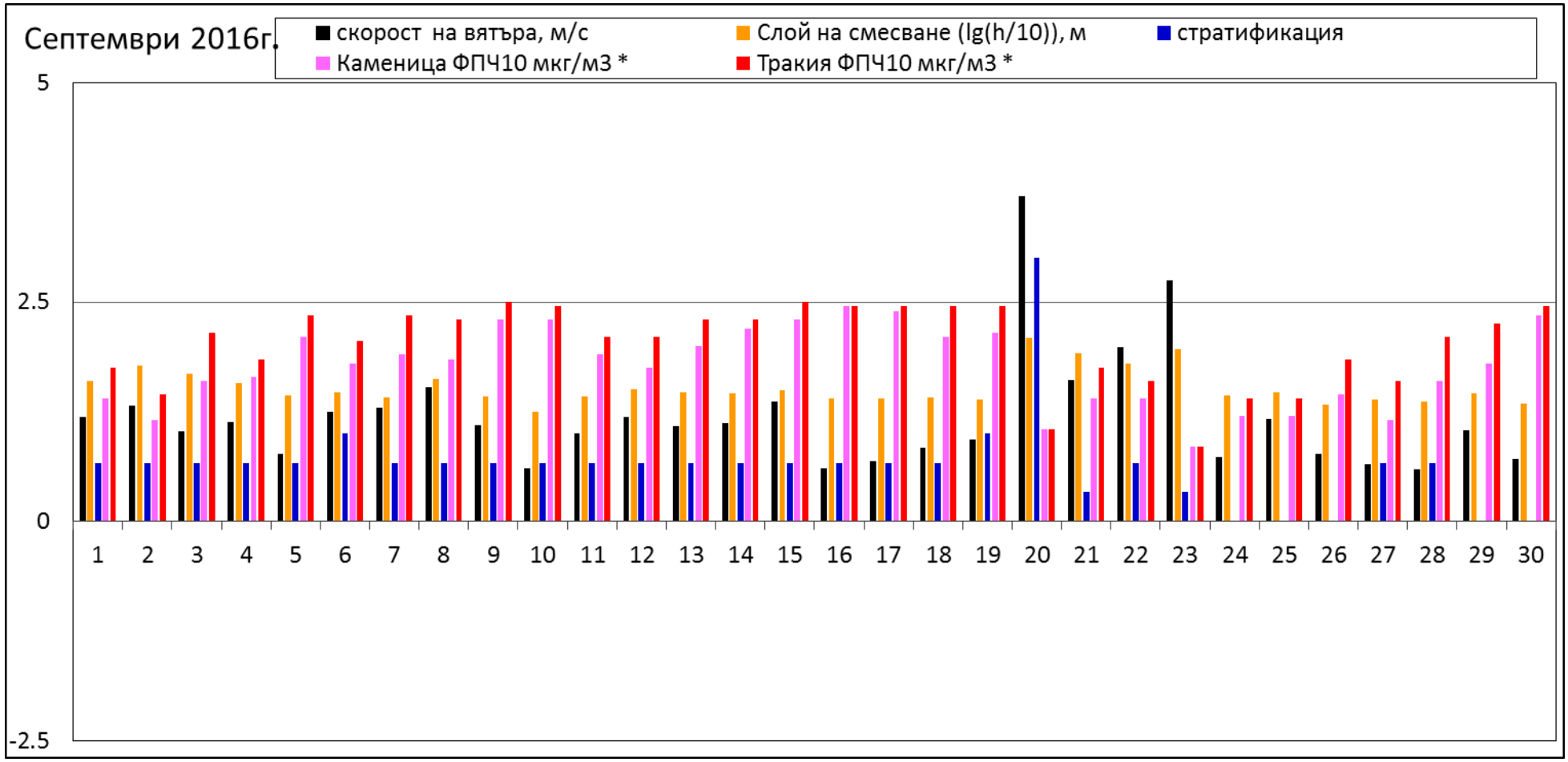

Фиг. 9б Средноденонощни стойности на ФПЧ10 в пунктове Каменица и Тракия разделени на 20 (при това мащабиране праговата стойност от 50 мкг/м3 се изобразява като 2.5) и средноденонощни метеорологични параметри: скорост на вятъра в м/с , интегрален слой на смесване в км*ч (логаритъм от стойността разделена на 1000) дисперсионен потенциал.

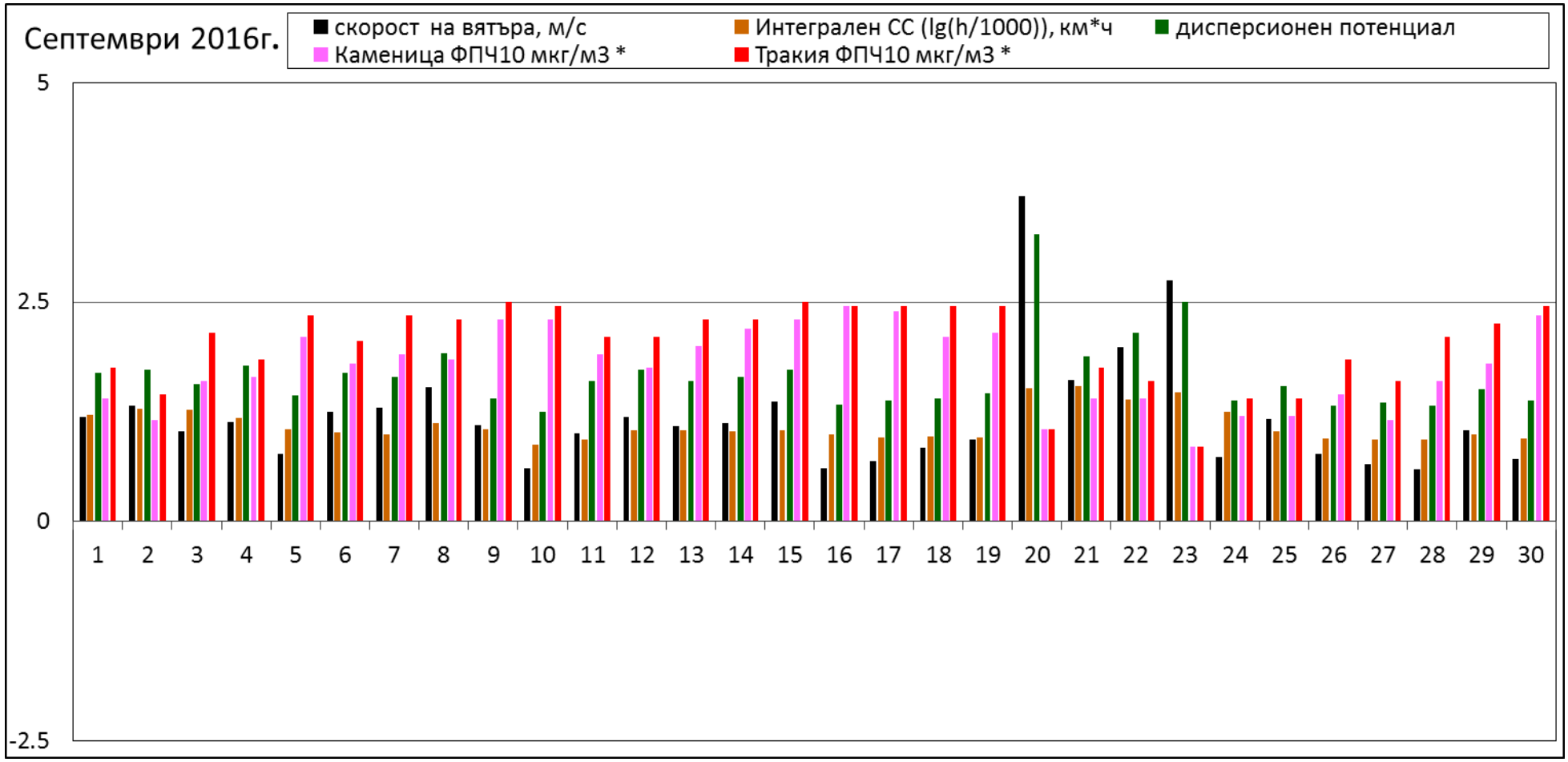

Фиг. 9в Средноденонощни стойности на ФПЧ10 в пунктове Каменица и Тракия разделени на 20 (при това мащабиране праговата стойност от 50 мкг/м3 се изобразява като 2.5) и денонощна сума на валежа в мм и ден от седмицата.

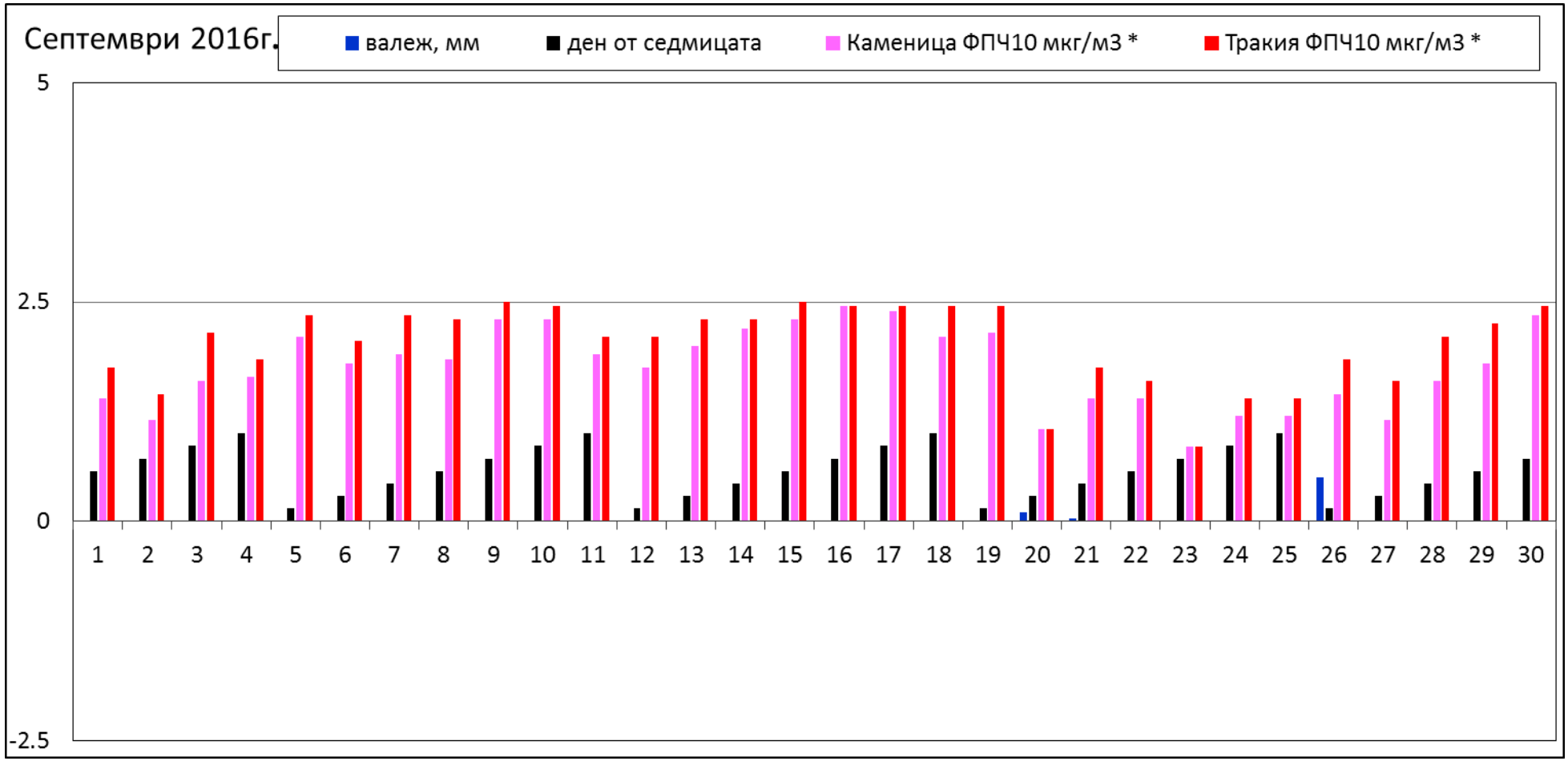

Фиг. 10а Средноденонощни стойности на ФПЧ10 в пунктове Каменица и Тракия разделени на 20 (при това мащабиране праговата стойност от 50 мкг/м3 се изобразява като 2.5) и средноденонощни метеорологични параметри: скорост на вятъра в м/с, височина на слоя на смесване в м (логаритъм от стойността разделена на 10) и стратификация – брой часове неустойчива минус брой часове устойчива.

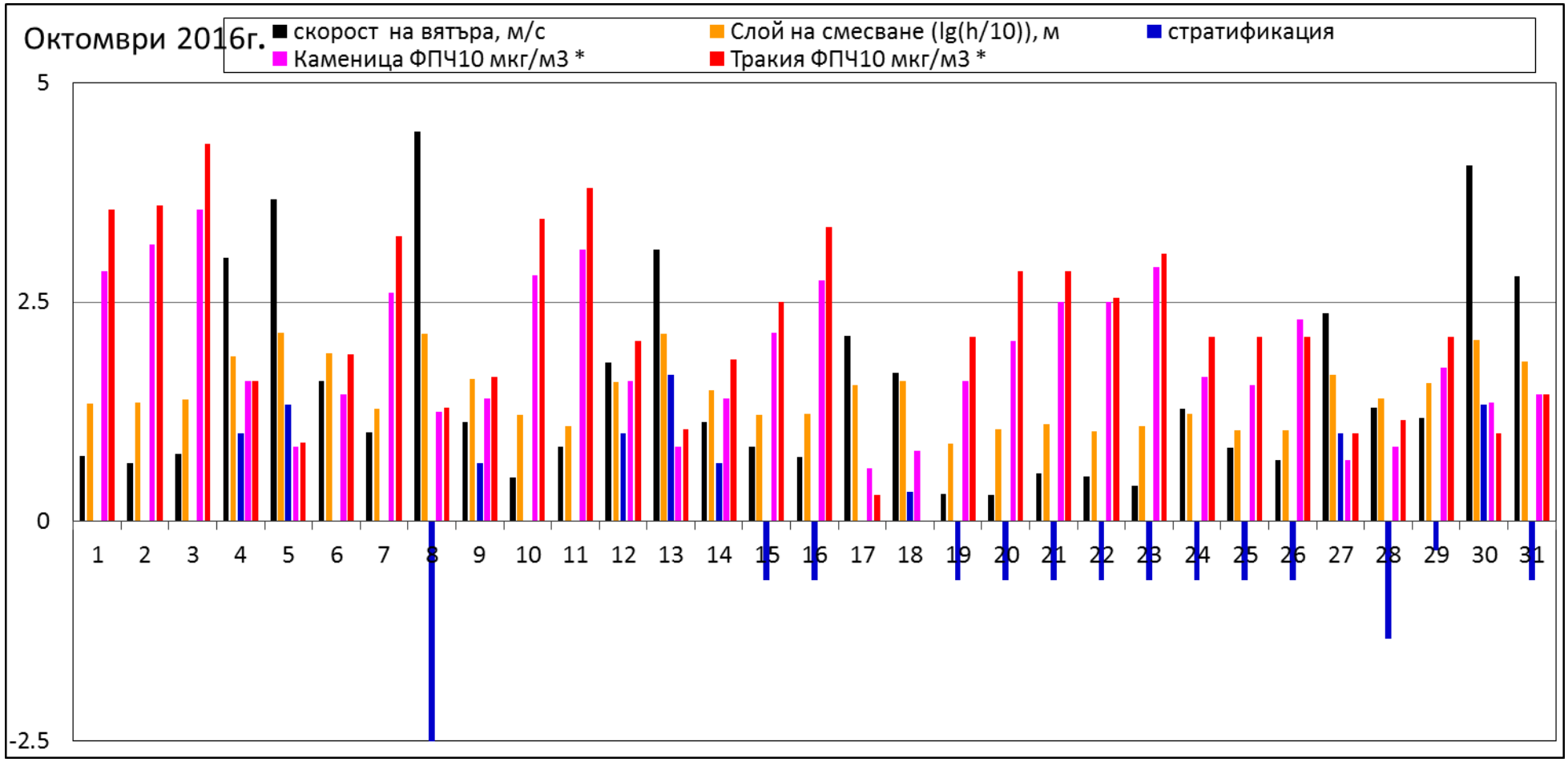

Фиг. 10б Средноденонощни стойности на ФПЧ10 в пунктове Каменица и Тракия разделени на 20 (при това мащабиране праговата стойност от 50 мкг/м3 се изобразява като 2.5) и средноденонощни метеорологични параметри: скорост на вятъра в м/с , интегрален слой на смесване в км*ч (логаритъм от стойността разделена на 1000) дисперсионен потенциал.

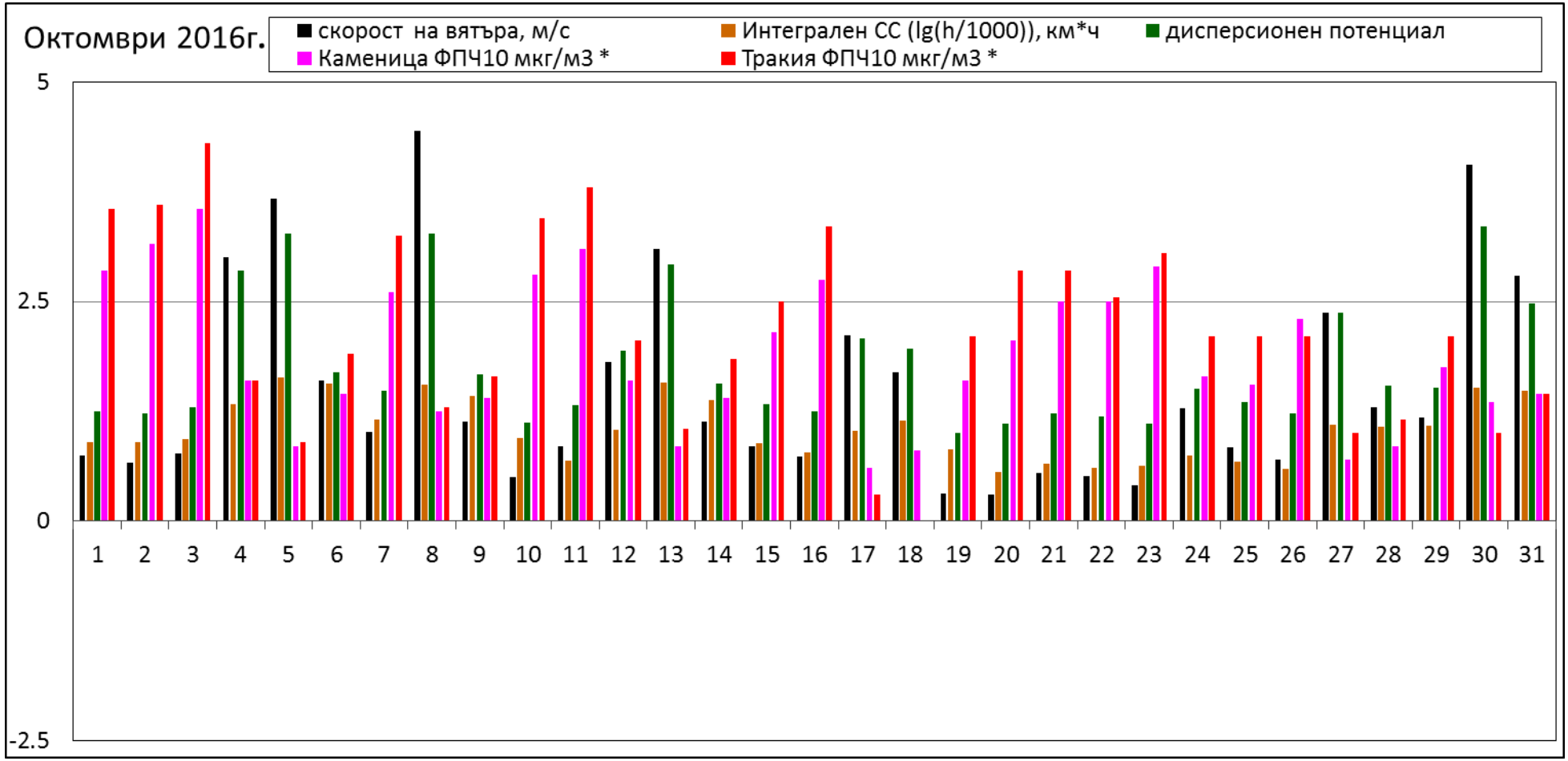

Фиг. 10в Средноденонощни стойности на ФПЧ10 в пунктове Каменица и Тракия разделени на 20 (при това мащабиране праговата стойност от 50 мкг/м3 се изобразява като 2.5) и денонощна сума на валежа в мм и ден от седмицата.

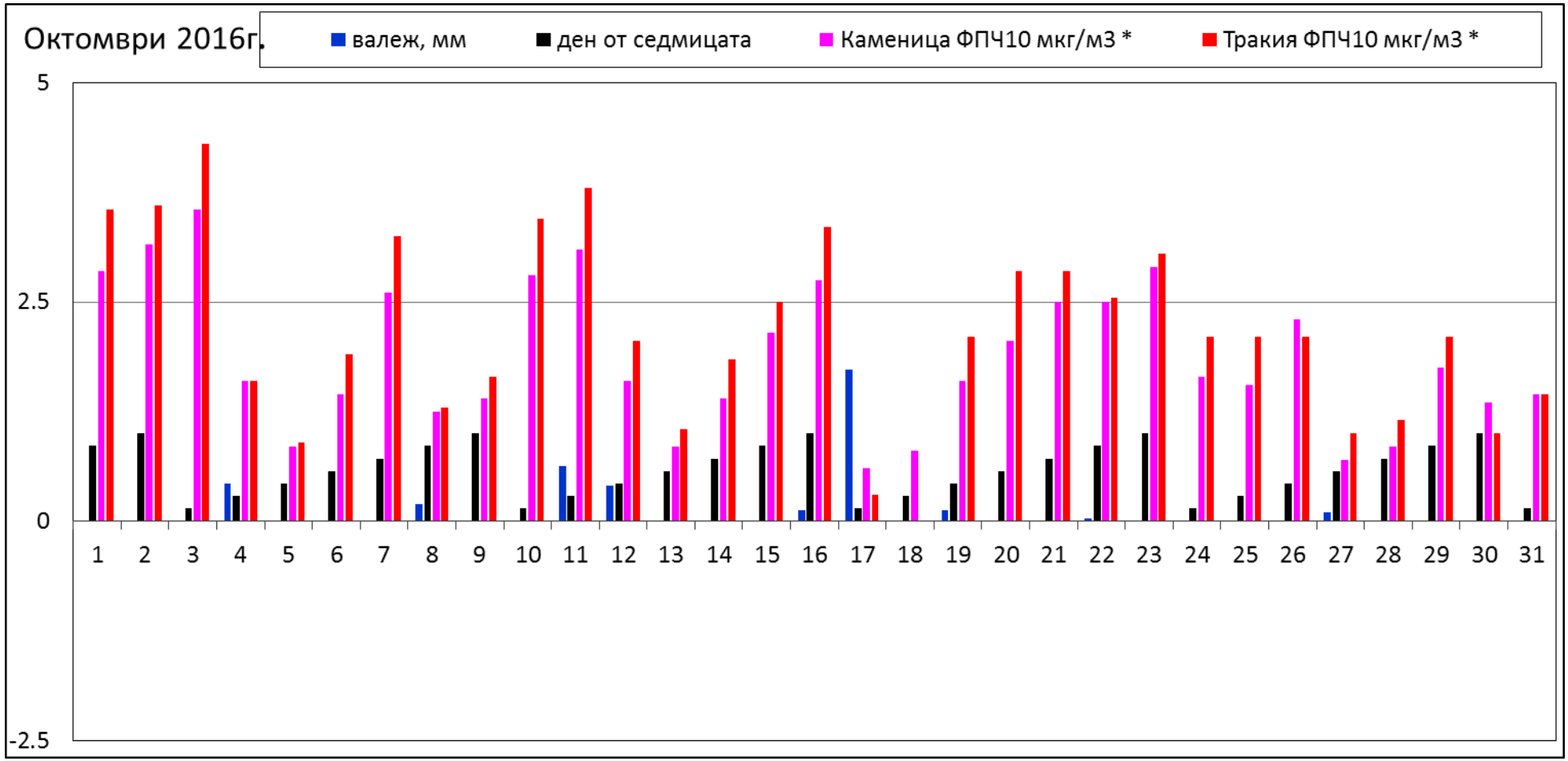

Фиг. 11а Средноденонощни стойности на ФПЧ10 в пунктове Каменица и Тракия разделени на 20 (при това мащабиране праговата стойност от 50 мкг/м3 се изобразява като 2.5) и средноденонощни метеорологични параметри: скорост на вятъра в м/с, височина на слоя на смесване в м (логаритъм от стойността разделена на 10) и стратификация – брой часове неустойчива минус брой часове устойчива.

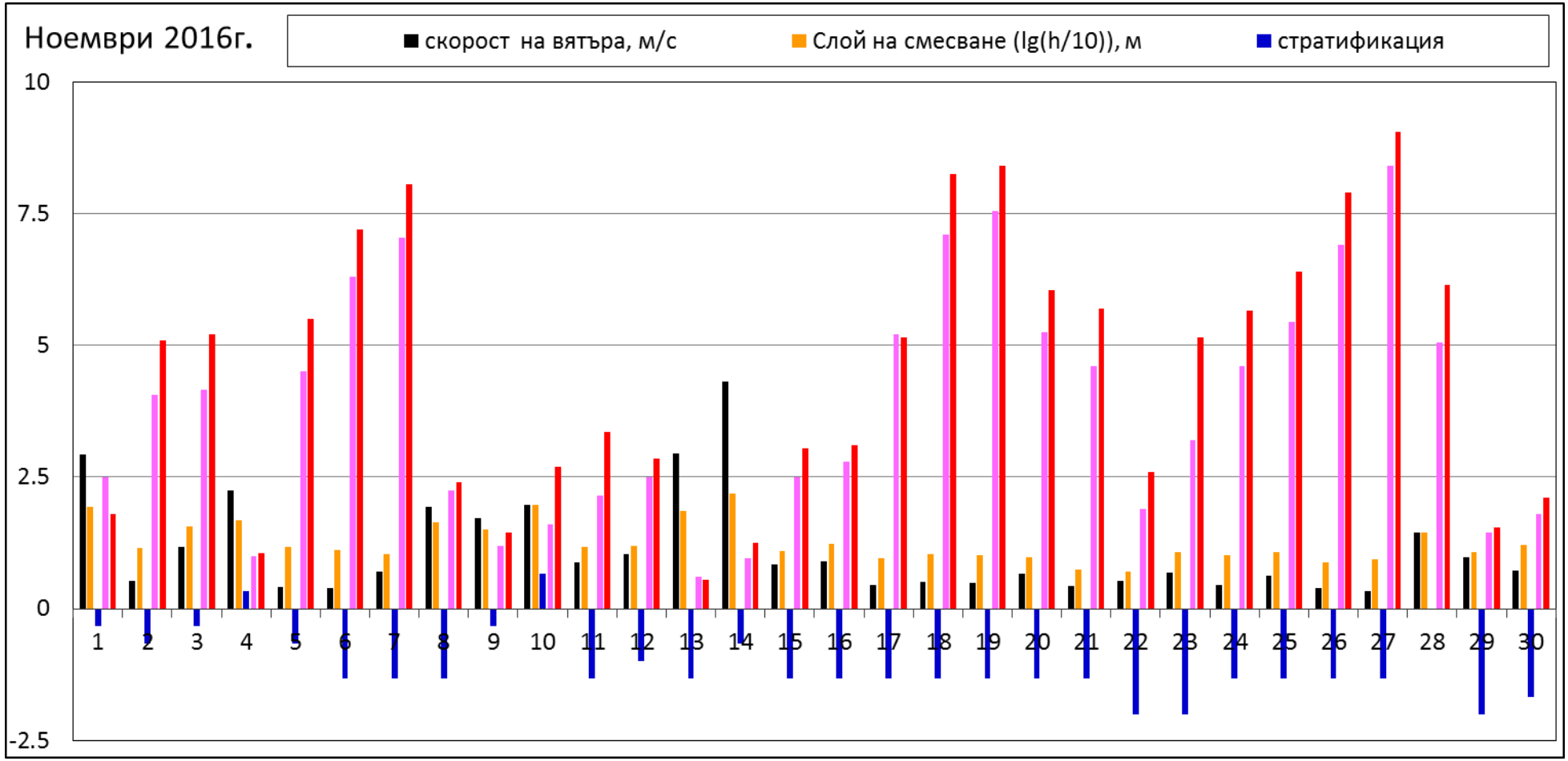

Фиг. 11б Средноденонощни стойности на ФПЧ10 в пунктове Каменица и Тракия разделени на 20 (при това мащабиране праговата стойност от 50 мкг/м3 се изобразява като 2.5) и средноденонощни метеорологични параметри: скорост на вятъра в м/с , интегрален слой на смесване в км*ч (логаритъм от стойността разделена на 1000) дисперсионен потенциал.

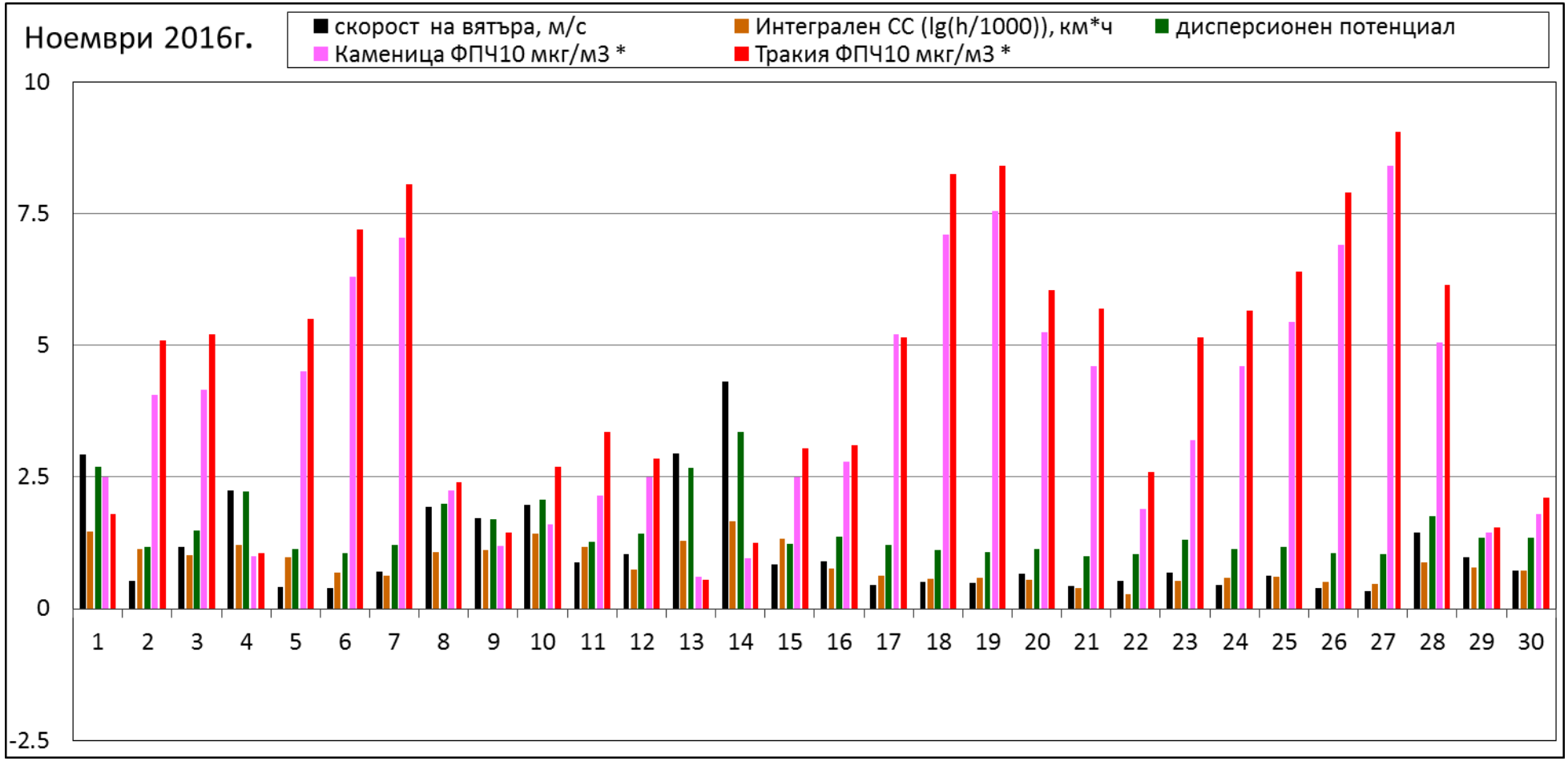

Фиг. 11в Средноденонощни стойности на ФПЧ10 в пунктове Каменица и Тракия разделени на 20 (при това мащабиране праговата стойност от 50 мкг/м3 се изобразява като 2.5) и денонощна сума на валежа в мм и ден от седмицата.

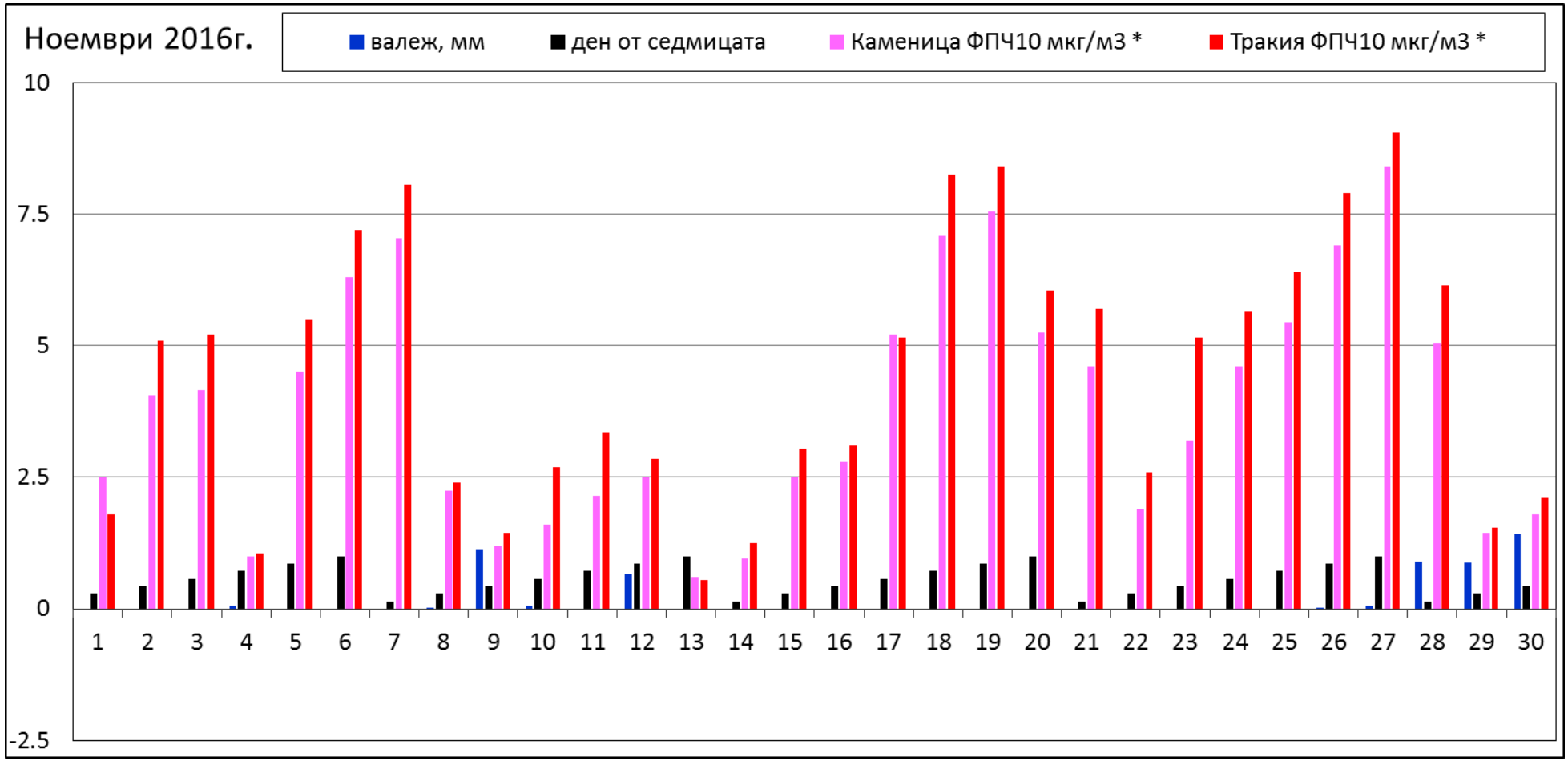

Фиг. 12а Средноденонощни стойности на ФПЧ10 в пунктове Каменица и Тракия разделени на 20 (при това мащабиране праговата стойност от 50 мкг/м3 се изобразява като 2.5) и средноденонощни метеорологични параметри: скорост на вятъра в м/с, височина на слоя на смесване в м (логаритъм от стойността разделена на 10) и стратификация – брой часове неустойчива минус брой часове устойчива.

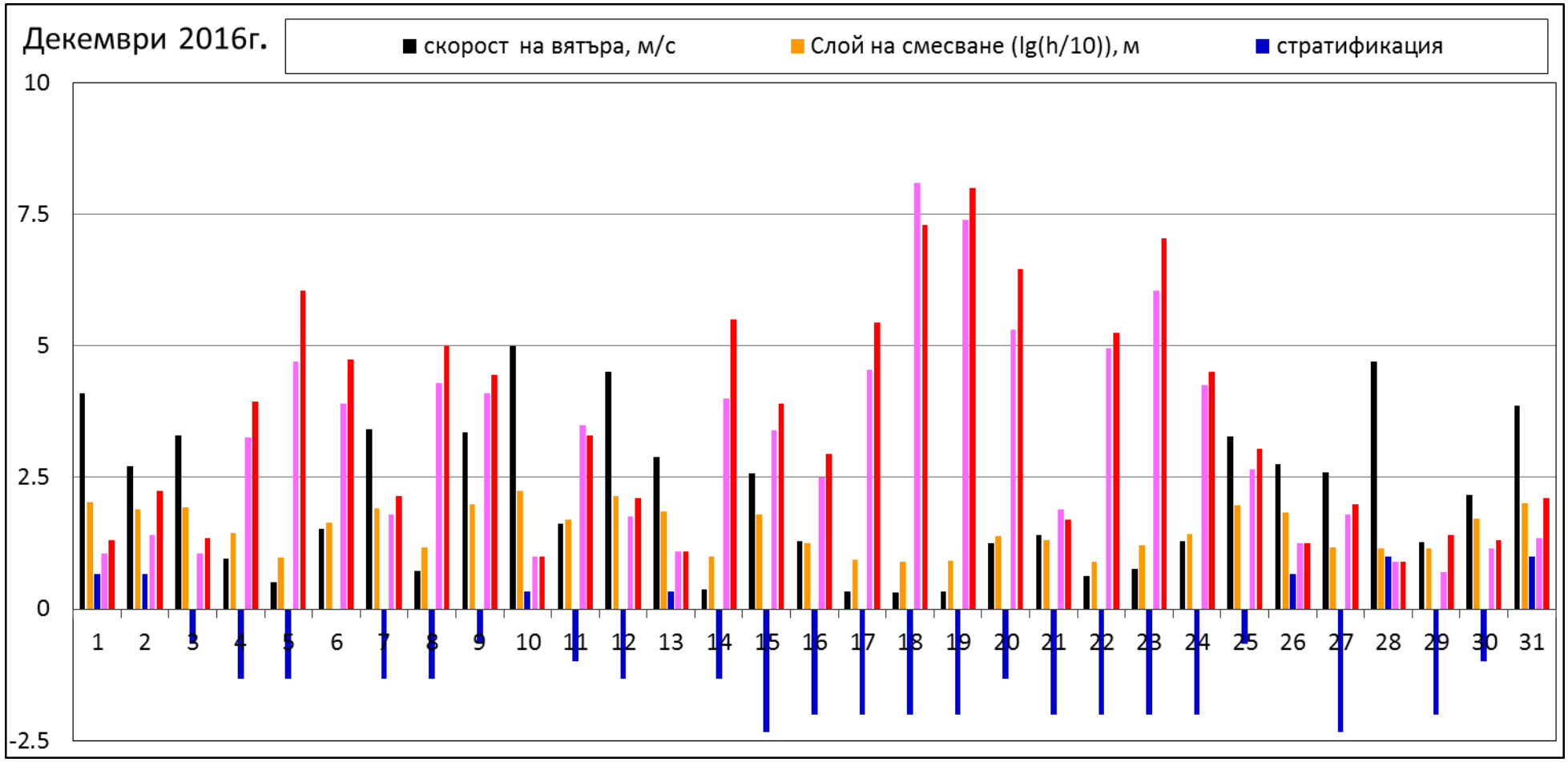

Фиг. 12б Средноденонощни стойности на ФПЧ10 в пунктове Каменица и Тракия разделени на 20 (при това мащабиране праговата стойност от 50 мкг/м3 се изобразява като 2.5) и средноденонощни метеорологични параметри: скорост на вятъра в м/с , интегрален слой на смесване в км*ч (логаритъм от стойността разделена на 1000) дисперсионен потенциал.

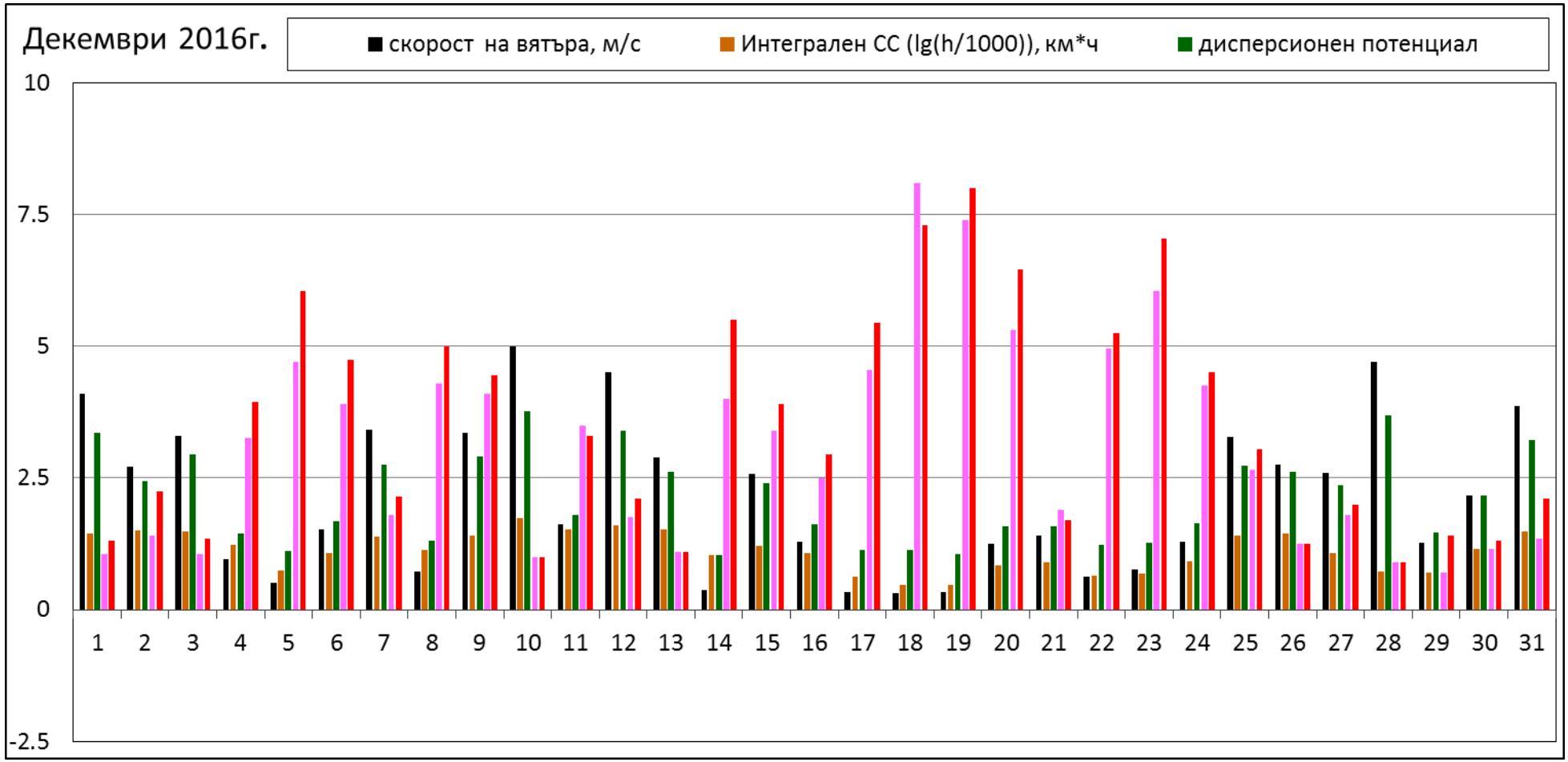
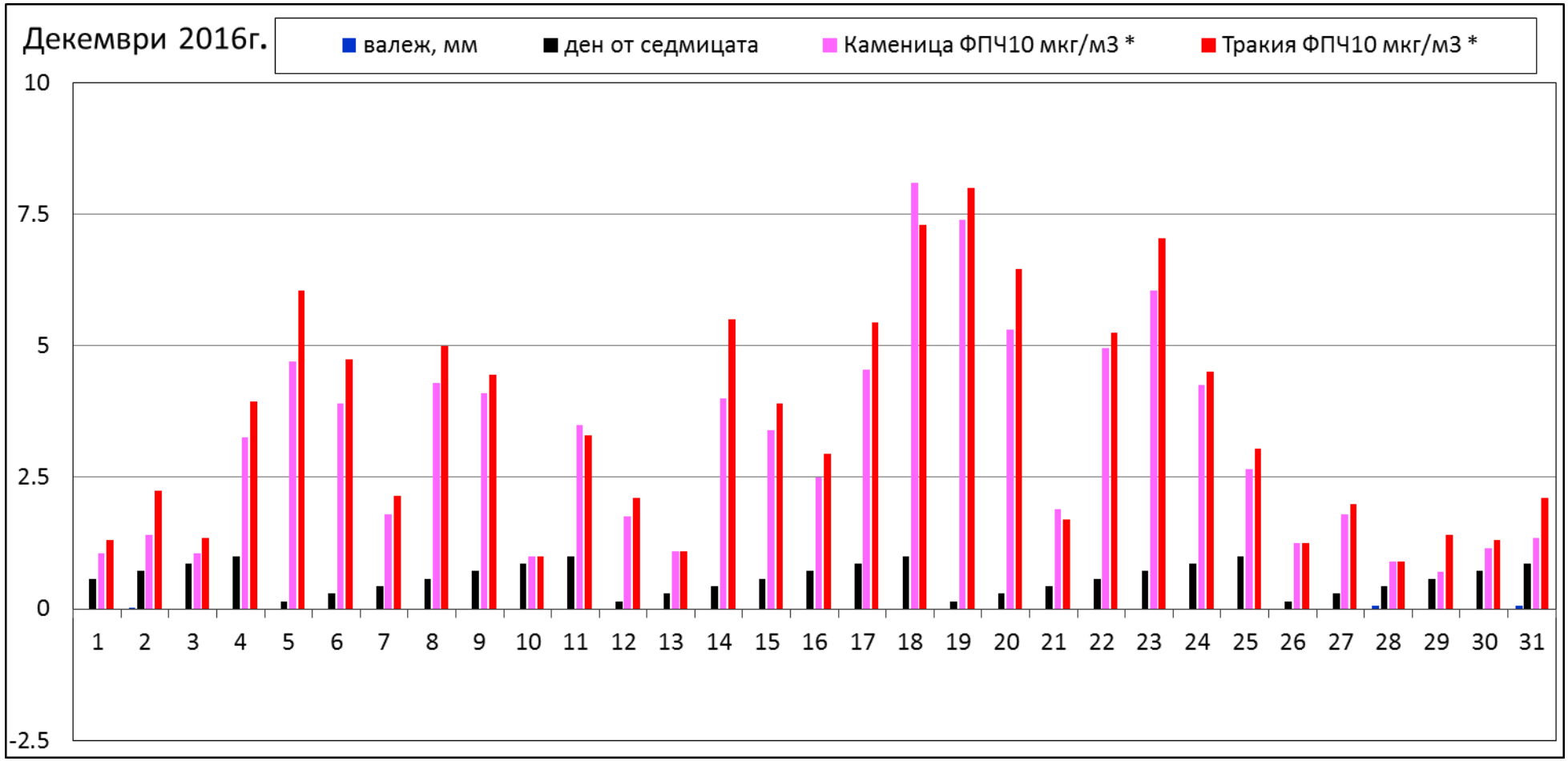
Фиг. 12в Средноденонощни стойности на ФПЧ10 в пунктове Каменица и Тракия разделени на 20 (при това мащабиране праговата стойност от 50 мкг/м3 се изобразява като 2.5) и денонощна сума на валежа в мм и ден от седмицата.